

## إيجاد شكل و مساحة التماس الفعالة لأساس مستطيل محمل لا مركزياً

ليث جواد عزيز

كلية الهندسة-جامعة الكوفة

### الخلاصة

البحث الحالي يركز على تخمين تأثير التحميل اللامركزي على قابلية التحمل القصوى للترابة (Ultimate bearing capacity of soil)، من خلال تقدير أبعاد الأساس الحقيقة ( $B \& L$ ) إلى أبعاد فعالة هي ( $B' \& L'$ ) تدخل في حساب قابلية تحمل التربة و من هذه الأبعاد الأخيرة نجد مساحة تماس الأساس بالتربة (المساحة الفعالة) ( $A'$ ). الأساس لامركزي تكون أما باتجاه واحد و هنا الأبعاد الفعالة ( $B' \& L'$ ) للأساس المستطيل متساوية إلى ( $L'=B$ ) ( $B'=B-2e$ ,  $B' \& L'=L$  or  $2e \& B'=B$ ) أو باتجاهين و هنا الحالة تكون أكثر تعقيداً بسبب كون المقصوم لا يستطيع معرفة شكل المساحة الفعالة، أما الأبعاد الفعالة للأساس في هذه الحالة فيتم إيجادها من فرض إن مساحة الحمل العمودي تمر في مركز المساحة الفعالة.

العمل الحالي هي إشكال تصميمية لإيجاد الأبعاد الفعالة بعد إعدادها و تقديمها في هذا البحث، الإشكال التصميمية تمكن المهندس من تصميم الأساس المستطيل المحمل بأحمال لا مركزية و بصورة سهلة و سريعة.

### (١)-المقدمة

الأحمال اللامركزة (Eccentric loads) للأسس الضحلة (foundation shallow) تحدث نتيجة الأحمال العمودية (vertical loads) المسلطية خارج مركز الأساس أو عندما يكون هناك عزم مؤثر على الأساس (هذا العزم ناتج عن أحمال الرياح أو غيرها) إضافة إلى الحمل العمودي. قيمة المسافة اللامركزة ( $e$ ) (Eccentric distance) من مركز الأساس إلى نقطة نسلطة الحمل يمكن إيجادها من المعادلة (١).

$$e = \frac{M}{V} \quad (1)$$

( $M$ ): العزم المستط على الأساس ( $V$ ): القوة العمودية على الأساس

لتخرص قواعد الأساس المحملة لا مركزياً لاجهادات غير منتظمة تتولد في سطح تماس التربة بالأساس ولتعديل هذه الإيجادات إلى إجهادات منتظمة، يتم تقدير أبعاد قاعدة الأساس (Footings base) بحيث تحصل على قاعدة مصغرة مركزها هو نقطةتأثير الحمل وكما شاهد في الشكل (١) مقدار النقصان يكون جزء من مساحة الأساس نتيجة دولة انشد الحاسنة في هذا الجزء، فتحديد شكل المساحة المتبقية من هذا الأساس يعتمد على قيمة اللامركزة ( $e$ ) والتي قد تكون باتجاه واحد (One way eccentricity) أو باتجاهين (Two way eccentricity) ثم استخدام هذه المساحة المعروفة بمساحة التماس الفعال (Effective Footing contact area) في إيجاد الأبعاد المتعددة (Effective footing dimensions) لقاعدة الأساس ( $L' \& B'$ ) بالاعتماد على المعادله (٢).

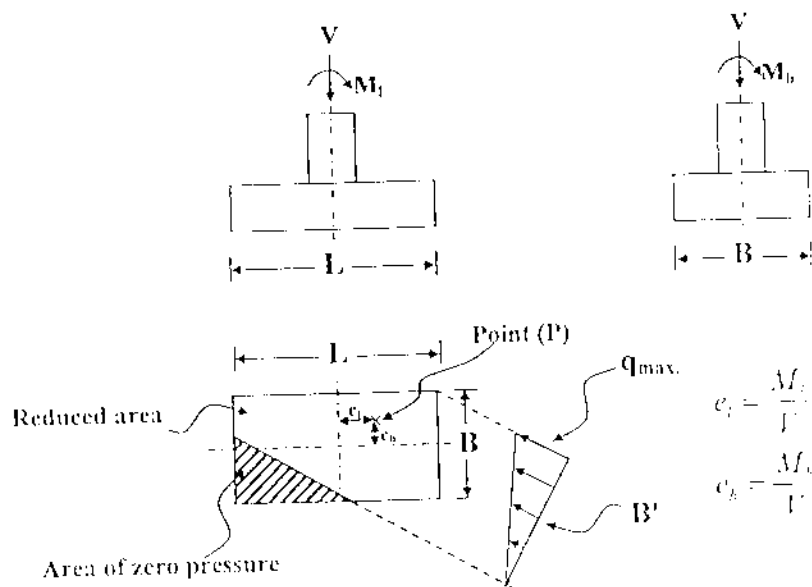
$$A' = L' \times B' \quad (2)$$

إن عرض الفعال للأساس مستطيل ( $B'$ ,  $L'$ ) يؤثر بصورة كبيرة على قابلية تحمل التربة القصوى (Ultimate bearing capacity of soil) و يدخل في حسابها و كما مشاهد بالمعادلة (٣). المعادلة (٣) توضح أنه في حالة تكون التربة طينية (Clay soil) أي زاوية الاحتكاك الداخلي ( $\phi=0$ ) و قيمة الثابت ( $N_y=0$ ) و إن الحد الثالث من هذه المعادلة يكون مساوياً إلى الصفر و بذلك فإن عرض الأساس الفعال ( $B'$ ) لا يؤثر على قيمة قابلية

تحمّل التربة و تستنتج من ذلك أن الترب الطينية تكون أقل تأثيراً بالإبعاد الفعالة من الترب الرملية (Sandy soil). أما

$$g_{r,y} = cN_cS_cd_i g_c b_c + qN_qS_qd_q g_q b_q + 0.5\gamma B' N_r S_r d_r i_r g_r b_r \quad \dots \quad (3)$$

حيث إن ( $F.S$ ): معامل الأمان، ( $\gamma$ ): كثافة التربة، ( $C$ ): مقاومة تفاسك التربة، ( $N_c, N_q, N_y$ ): ثوابت قلبية تحمل التربة للأسس المستمرة، ( $S_c, S_q, S_y$ ): ثوابت شكل الأساس الغير مستمرة، ( $d_c, d_q, d_y$ ): ثوابت عمق الأساس غير الموجدة على سطح التربة، ( $A_c, A_q, A_y$ ): ثوابت ميلان الحمل، ( $g_c, g_q, g_y$ ): ثوابت ميلان سطح التربة المحاورة لقاعدة الأساس، ( $b_c, b_q, b_y$ ): ثوابت ميلان قاعدة الأساس.



الشكل (١) توزيع الاجهادات على أساس منفصل (Spread footing) محمّل بعزمين ( $M_a$  &  $M_b$ ) وفّوة عمودية (V)

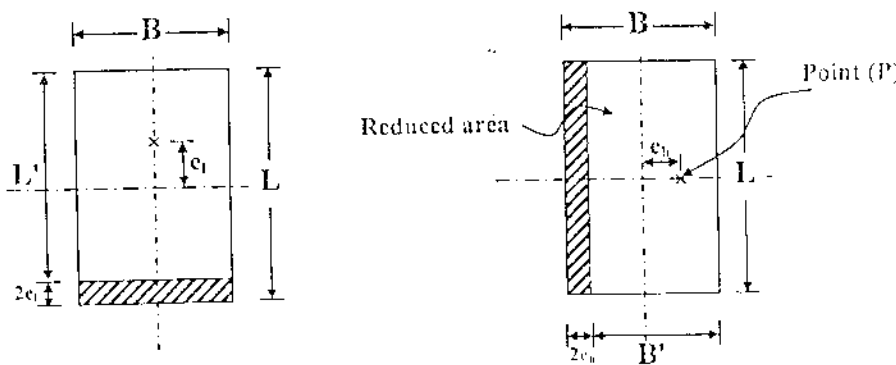
(٢) إيجاد مساحة قاعدة الأساس بالترية (المساحة الفعالة)

(Determination of effective footing contact area)( A')

يعتمد إيجاد قيمة و شكل مساحة تماس قاعدة الأساس بالتربيبة على حالة تحمل الأساس، فأحياناً تحمل الأساس عزم احنان (Bending moment) باتجاه واحد(طول أو عرض الأساس) و أحياناً أخرى تحمل عزم باتجاهين طول عرض الأساس و كما موضح بالشكل (١).

(i) الأسس المحمولة بعزم باتجاه واحد (One way eccentricity)

في هنا نوع من التحفيز يترك بعد فعال واحد هو ( $L'$  or  $B'$ ) وبالاعتماد على اتجاه العزم المسلط (اتجاه الامرکزية) على الأساس و كما شاء بالشكل (٢). في حالة كون الامرکزية أو العزم باتجاه عرض الأساس (الشكل ٢-A) فمن الأبعاد الفعلة ( $L'=B-2e_b$ )، أما حالة كون الامرکزية باتجاه طول الأساس (الشكل ٢-B) فمن الأبعاد الفعلة ( $B'=L-2e_l$ )، وبعد إيجاد الأبعاد الفعلة ( $L' \& B'$ )، قيمة المساحة الفعلة يتم حسابها من المعادلة (٢).



(B') = B) & (L' = L - 2e\_i) (B)-اللامركزية باتجاه العرض

(A)-(A)-اللامركزية باتجاه العرض (L' = L) & (B' = B - 2e\_b)

الشكل (٢): حالة تحمل لا مركزية باتجاه واحد

(ii)-الأسس المحملة بعزمين و باتجاهين مختلفين (Two way eccentricity)

في حالة وجود لا مركزية باتجاهين في هذه الحالة تكون أكثر تعقيداً من الحالة السابقة ، بسبب كون المقصم لا يستطيع تحديد شكل مساحة التماس الفعالة (A') والتي تعتمد على قيم الامركزية Eccentricity (e\_b & e\_i) . لذلك نفرض شكل هذه المساحة الفعالة ونشتق معادلة عامة تربط بين قيم المسافة الامركزية مع الأبعاد الفعالة . هذا الاستنتاج يبنى على عدة فرضيات (١) -أن مركز المساحة الفعالة المفروضة ينطبق مع نقطة تأثير الحمل العمودي (Vertical loads) (٢) -الحمل العمودي يؤثر في الربيع الأول (الشكل ١) . هذه الفرضية لا تؤثر على قيم المساحة الفعالة وذلك لأن موضع الحمل العمودي في أي ربيع من أرباع الأساس يعطي نفس النتيجة . (٣) -أ. فرض من شكل المساحة الفعالة يوجد لدينا أربع حالات لـ احتمالات يتم عرضها كما يلى .

(A)-الحالة الأولى (Case one): نفرض شكل مساحة التماس الفعالة على هيئة مثلث مثبت موضعه بالشكل (٣) و بعد تطبيق الفرضية الأولى و هي كون أن مركز المساحة الفعالة المفروضة (المثلث الشكل) ينطبق مع نقطة تأثير الحمل . مركز المساحة الممثلة نجد أنه من  $\frac{B_b}{3} - \frac{L_b}{3} & Y' = \frac{B_b}{3}$  ونشتق المعادلة التي تربط قيمة المسافة الامركزية و الأبعاد الفعالة و باتجاهين .

أو لأي اتجاه من نوع الأساس

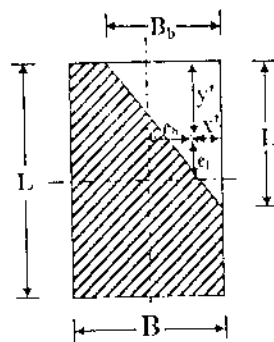
$$y' + e_i = \frac{L}{2} \Rightarrow \frac{L_b}{3} + e_i = \frac{L}{2} \Rightarrow L_b = 2e_i + \frac{2}{3}L_i \quad (1)$$

$$\frac{L_b}{L_i} = \frac{3}{2} \left( 1 - 2 \frac{e_i}{L} \right) \quad (1)$$

$$x' + e_b = \frac{B}{2} \Rightarrow \frac{B_b}{3} + e_b = \frac{B}{2}$$

شيكليات باتجاه عرض الأساس

$$\frac{B_b}{B} = \frac{3}{2} \left( 1 - 2 \frac{e_b}{B} \right) \quad (7)$$



الشكل (٣): المساحة الفعالة المفروضة على شكل مثلث

من المعادلين (٦)،(٧) نجد الأبعاد الشائعة بالشكل (٣) و هي ( $L_b$  &  $B_b$ ) و منها نجد المساحة الفعلية ( $\Delta'$ ) و نعتبر أن أكبر قيمة بين ( $L_b$  &  $B_b$ ) هي ( $L'$ ) و أما ( $L'$ ) هي ( $L$ ) و قلما ( $B'$ ) تجدنا من المعادلة (٢). تم تحويل هذه المعادلة إلى شكل رقم (٤) و الذي منه مباشرةً يمكن إيجاد الأبعاد ( $L_b$ & $B_b$ ) و قبل استخدام المعادلين (٦) و (٧) يجب علينا معرفة حدود تلك المعادلين التي نستخرجها كما يلي:  
أولاً: باتجاه طول الأساس

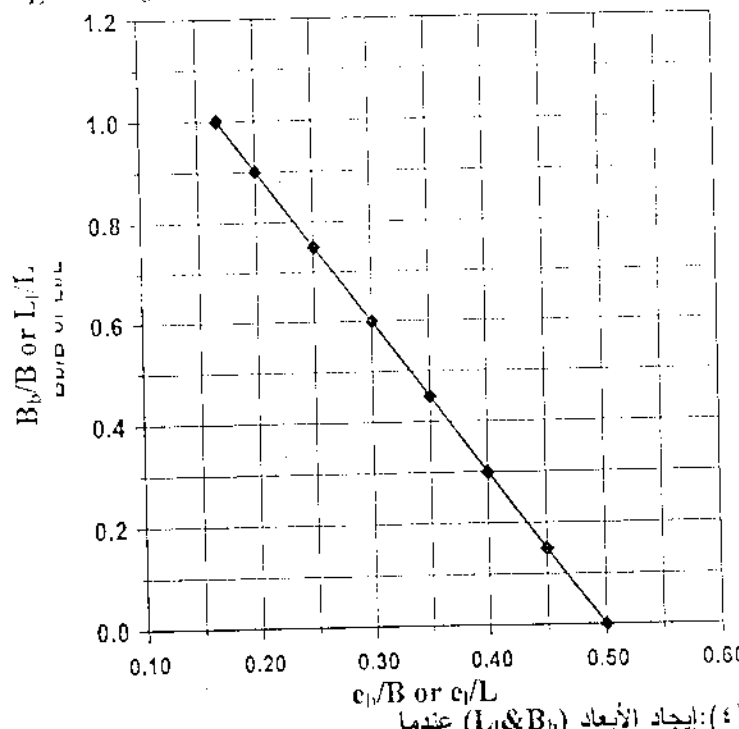
The limits of equation (6)&(7) ,when  $L_b=L$  in eq.(6)

$$1 \geq 1.5 \left( 1 - \frac{2e}{L} \right) \Rightarrow \frac{e}{L} = \frac{1}{6} \quad (B_b/B)$$

ثانياً: باتجاه عرض الأساس

$$\frac{e_{b,b}}{B} \geq \frac{1}{6} \quad \text{شرط استخدام المعادلين (٦) و (٧) أو الشكل (٤) هو:}$$

$$\frac{e_{b,b}}{B} > \frac{1}{6} \quad \& \quad \frac{e_{b,t}}{L} > \frac{1}{6}$$

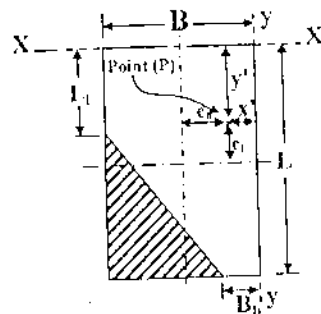


الشكل (٤): إيجاد الأبعاد ( $L_b$ & $B_b$ ) عندما

-الحالة الثانية (B) : (Case Two)

$$\frac{e_{b,b}}{B} \geq \frac{1}{6} \quad \& \quad \frac{e_{b,t}}{L} \geq \frac{1}{6}$$

نفرض المساحة المفترضة من الأساس المستطيل على شكل مثلث و المساحة المتبقية هي الفعالة(A') و كما شهد في الشكل (٥) الخطوة الأولى نستخرج مركز الجزء الغير مظلل (y' & x') وبعدها نجعل هذا المركز ينطبق مع نقطة التغير الحول العمودي (V) و نشق معاينة لإيجاد الأبعاد  $L_b$  &  $B_b$  لـ  $L$  وبالاتجاهين.



شكل(٥): المساحة الفعالة المفترضة في الحالة الثانية

أولاً: باتجاه طول الأساس

$$v'(LB_b + (B - B_b)L_t + 0.5(B - B_b)(L - L_t)) = \frac{L^2 B_b}{2} + \frac{(B - B_b)L_t^2}{2} + \frac{1}{6}(B - B_b)(L - L_t)(L + 2L_t)$$

$$y'^2 = \frac{B_b L^2 + BL_t^2 - B_b L_t^2 + 0.33(B - B_b)(L - L_t)(L + 2L_t)}{LB_b + L_t B - B_b L_t + BL} \quad (8)$$

$$c_{L_t} + y'^2 = \frac{L}{2} \quad (9)$$

Substituting Equation (8) into eq.(9), obtain :

$$\frac{c_{L_t}}{1} = \frac{1}{2} \frac{B_b L^2 + BL_t^2 - B_b L_t^2 + 0.33(B - B_b)(L - L_t)(L + 2L_t)}{LB_b + L_t B - B_b L_t + BL} \quad (10)$$

ثانياً: باتجاه عرض الأساس

$$X' = \frac{LB_b^2 + L_t(B - B_b)(B + B_b) + 0.33(L - L_t)(B - B_b)(B + 2B_b)}{LB_b + L_t B - B_b L_t + BL} \quad (11)$$

$$c_{B_b} + X' = \frac{B}{2} \quad (12)$$

Substituting Equation(11) into Eq.(12), obtain :

$$\frac{c_{B_b}}{B} = \frac{1}{2} \frac{LB_b^2 + L_t(B - B_b)(B + B_b) + 0.33(L - L_t)(B - B_b)(B + 2B_b)}{B(LB_b + L_t B - B_b L_t + BL)} \quad (13)$$

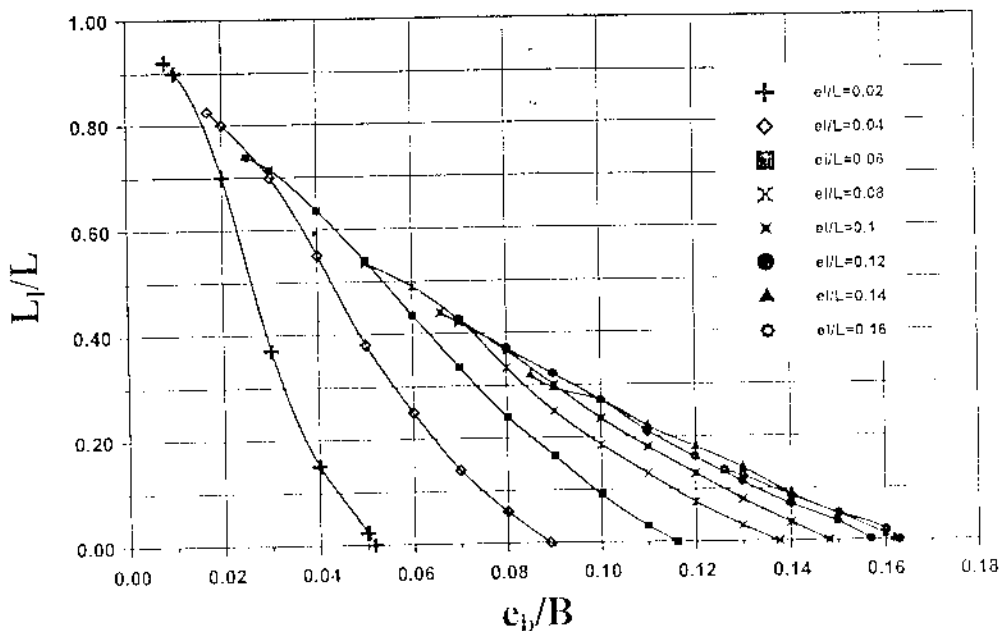
From Equation(13)

$$LB_b + L_t B - B_b L_t + BL = \frac{LB_b^2 + L_t(B - B_b)(B + B_b) + 0.33(L - L_t)(B - B_b)(B + 2B_b)}{B\left(\frac{1}{2} - \frac{c_{B_b}}{B}\right)} \quad (13a)$$

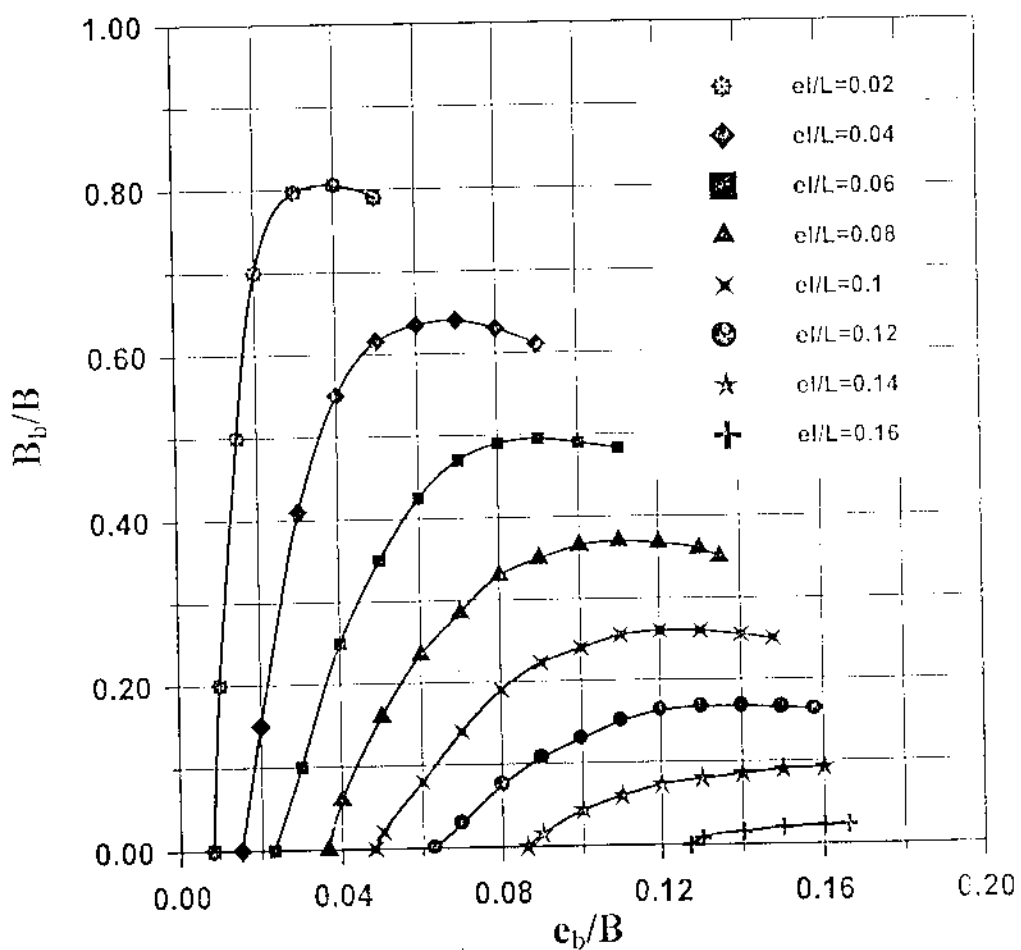
Substituting Equation(13a) into Eq.(10), obtain

$$\frac{c_{L_t}}{L} = \frac{1}{2} - \frac{(B_b L^2 + BL_t^2 - B_b L_t^2 + 0.33(B - B_b)(L - L_t)(L + 2L_t))(B)\left(\frac{1}{2} - \frac{c_{B_b}}{B}\right)}{L(LB_b^2 + L_t(B - B_b)(B + B_b) + 0.33(L - L_t)(B - B_b)(B + 2B_b))} \quad (14)$$

بعد تعويض قيم الامثلية  $\frac{e_b}{L} \& \frac{e_t}{B}$  و قيم بعد الأساس ( $L \& B$ ) بالمعادلة (٤) واستخدام طريقة التجربة والخطأ (Trial error) نجد الأبعاد ( $L \& B_b$ ) و منها نجد المساحة الفعالة للأساس ( $A'$ ) و الموضحة بالشكل (٥) بعدها نفرض القيمة ( $A = A'$ ) ، أما ( $B'$ ) نجدها من المعادلة (٢) و بذلك تم إيجاد الأبعاد الفعالة للأساس. من أجل تمهيل عملية إيجاد الأبعاد ( $L \& B_b$ ) من المعادلة (٤) و تحجب استخدام طريقة التجربة والخطأ التي تحتاج إلى وقت، تم تحويل هذه المعادلة إلى الشكلين (٦) و (٧) باستخدام برنامج بلغة بيسك (Basic programme) . يتم استخدام هذه المعادلة أو الشكلين المذكورة أعلاه عندما يتحقق الشرطين  $\frac{e_b}{L} = \frac{1}{6} \& \frac{e_t}{B} = \frac{1}{6}$  . وما ع垦 الشرطين المستخدمين في الحالة الأولى بسبب كون المساحة الفعالة في هذه الحالة ع垦 المساحة الفعالة في الحالة الأولى.



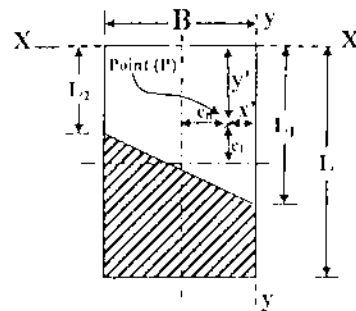
الشكل (٦): إيجاد البعد ( $L_1$ ) ومنها نجد ( $L_1/L$ ) للحالة الثانية  
 $\frac{e_b}{B} < \frac{1}{6}$  &  $\frac{e_b}{L} < \frac{1}{6}$



الشكل (٧): إيجاد البعد ( $B_1$ ) ومنها نجد ( $B_1/B$ ) للحالة الثانية  
 $\frac{e_b}{B} < \frac{1}{6}$  &  $\frac{e_b}{L} < \frac{1}{6}$

**(Case Three)-الحالة الثالثة(C)**

نفرض شكل مساحة الأساس الفعالة شبه منحرف (الجزء الغير مظلل) و كما مشاهد في الشكل(٨) و بنفس طريقة الاستنتاج الموضحة في الحالات السابقة نجد المعادلة لهذه الحالة.



الشكل(٨): المساحة الفعالة المفروضة شكل شبه منحرف في الحالة الثالثة

أو لأباتجاه طول الأساس

$$X' = \frac{0.33(L_1^2 + L_2 L_1 + L_2^2)}{L_1 + L_2} \quad (15)$$

$$e_t + Y' = \frac{L}{2} \quad (16)$$

Equation(15)in.Equation(16), obtain

$$\frac{e_t}{L} = \frac{1 - \frac{L_1^2 + L_2 L_1 + L_2^2}{3L(L_1 + L_2)}}{2} \quad (17)$$

ثانياً: باتجاه عرض الأساس

$$X' = \frac{B(L_1 + 2L_2)}{3(L_1 + L_2)} \quad (18)$$

$$e_b + X' = \frac{B}{2} \quad (19)$$

Equation(18)in.Equation(19), obtain :

$$\frac{e_b}{B} = \frac{1 - \frac{L_1 - L_2}{6(L_1 + L_2)}}{2} \quad (20)$$

From equation(20)

$$\frac{L_1 - L_2}{6(L_1 + L_2)} = \frac{\frac{e_b}{B}}{2} \quad (21)$$

Equation(21)in.equation(17), obtain :

$$\frac{e_t}{L} = \frac{1}{2} - \frac{\frac{2}{B} \left( L_1^2 + L_2 L_1 + L_2^2 \right)}{L(L_1 - L_2)} \quad (22)$$

من معرفة القيم  $\frac{e_b}{L}$  و  $\frac{e_t}{B}$  و قيم  $(L_1 \& L_2)$  و تعويضها بالمعادلة (٢٢) و بطريقة التجربة و الخطأ يستخرج الأبعاد (١) و منها يستخرج مساحة التماس الفعالة ( $A'$ ) و نعتبر إن أكبر قيمة من  $(L_1 \& L_2)$  هي  $L_1$  أما  $L_2$  فجدها من المعادلة (٢) ومن أجل تسهيل إيجاد الأبعاد ( $L_1 \& L_2$ ) و بالاعتماد على برنامج بلغة البيسك تم تحويل المعادلة السابقة الذكر إلى الشكلين (٩) و (١٠).

أما حدود هذه المعادلة نجدها كما يلي:

أولاً: باتباع ملء الأساس

عندما  $0.5 < \frac{e_t}{L}$  و تعويضها بالمعادلة (١٧) نحصل على

$$\frac{L_1^2 + L_2^2 - L_1 L_2}{3(L_1 + L_2)} - \frac{L_1}{2} - \frac{L_2}{2} = 0$$

ثانياً: باتباع عرض الأساس

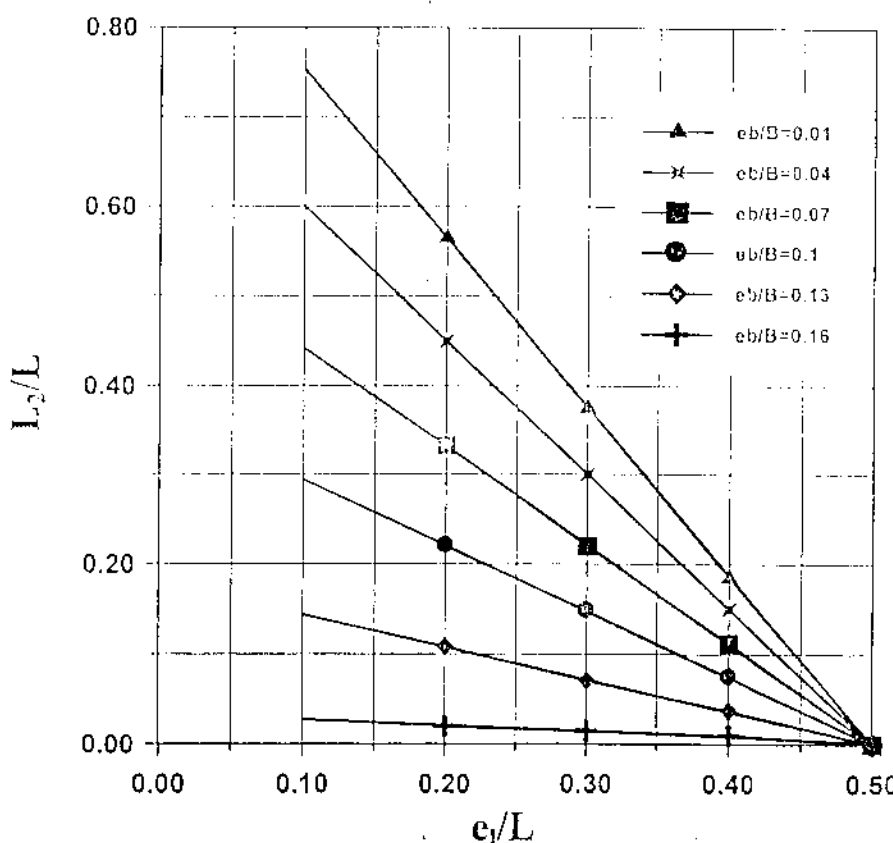
عندما  $\frac{e_t}{B} < \frac{1}{6}$  و تعويضها بالمعادلة (٢٠) نحصل على

$$\frac{1}{6} - \frac{1}{6} \left( \frac{L_1 + L_2}{L_1 + L_2} \right) > 0$$

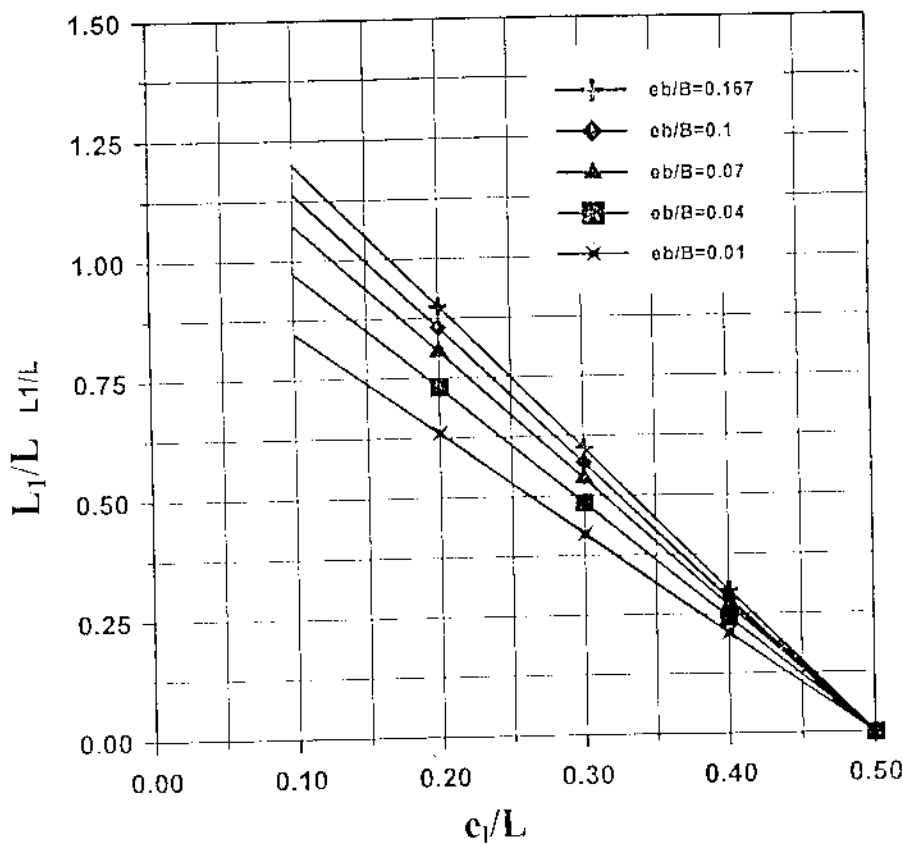
$$L_1 + L_2 - L_1 - L_2 = 0 \Rightarrow L_1 = 0$$

يفيد اهتمام السكانين (٩) و (١٠) أو المعادلة (٢٢) بعد تحقق الشرطين

$$\frac{e_t}{B} < \frac{1}{6} \quad \& \quad 0 < \frac{e_t}{L} < 0.5$$



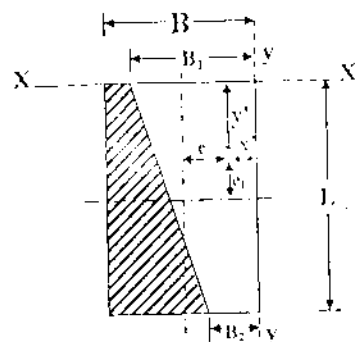
الشكل (٩): إيجاد البعد ( $L_2/L$ ) ومنها نجد ( $L_2$ ) للحالة الثالثة (٥.٥)



الشكل (٩): إيجاد البعد ( $L_1/L$ ) ومنها تجد ( $L_2/L$ ) للحالة الثالثة

الحالة الرابعة (Case four):

نفترض، شكل مساحة الأسس النعامة شبه منحرف و كما مشاهد في الشكل (١١) و هذه الحالة مشابه تماماً إلى الحالة السابقة و لكن شبه المنحرف باتجاه طول الأسس.



الشكل (١١): الم ساحة الفعلة المفترضة شكل شبه منحرف في الحالة الرابعة

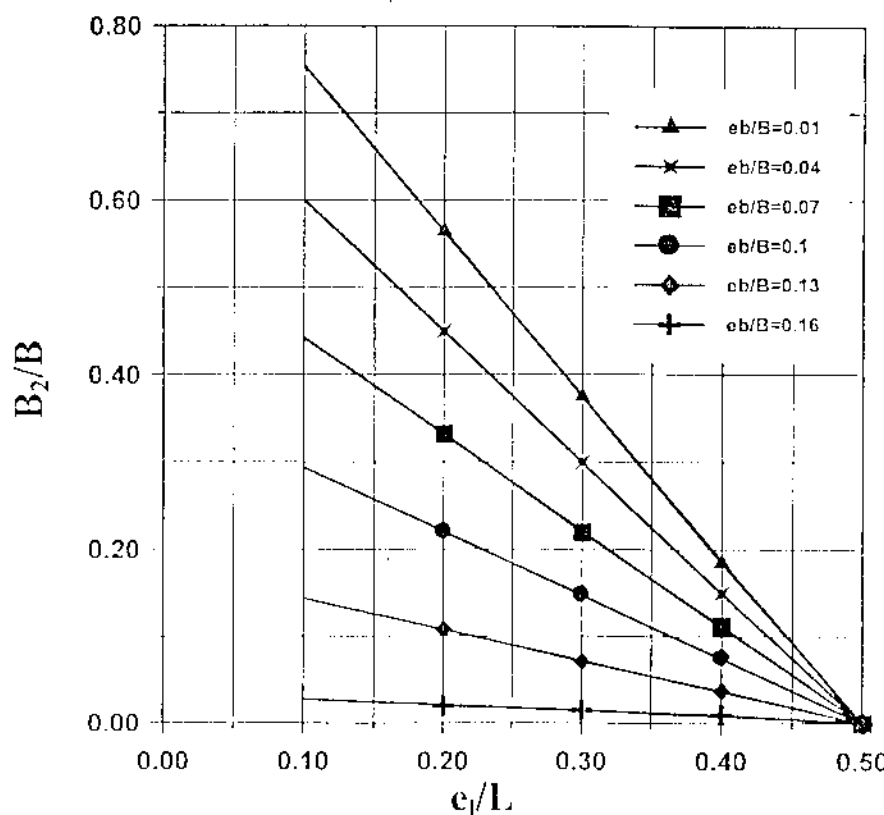
$$\frac{e_L}{L} = \frac{1}{6} \left( \frac{B_1 - B_2}{B_1 + B_2} \right) \quad (23)$$

$$\frac{e_h}{B} = \frac{1}{2} - \frac{B_1^2 + B_2 B_1 + B_2^2}{3B(B_1 + B_2)} \quad (24)$$

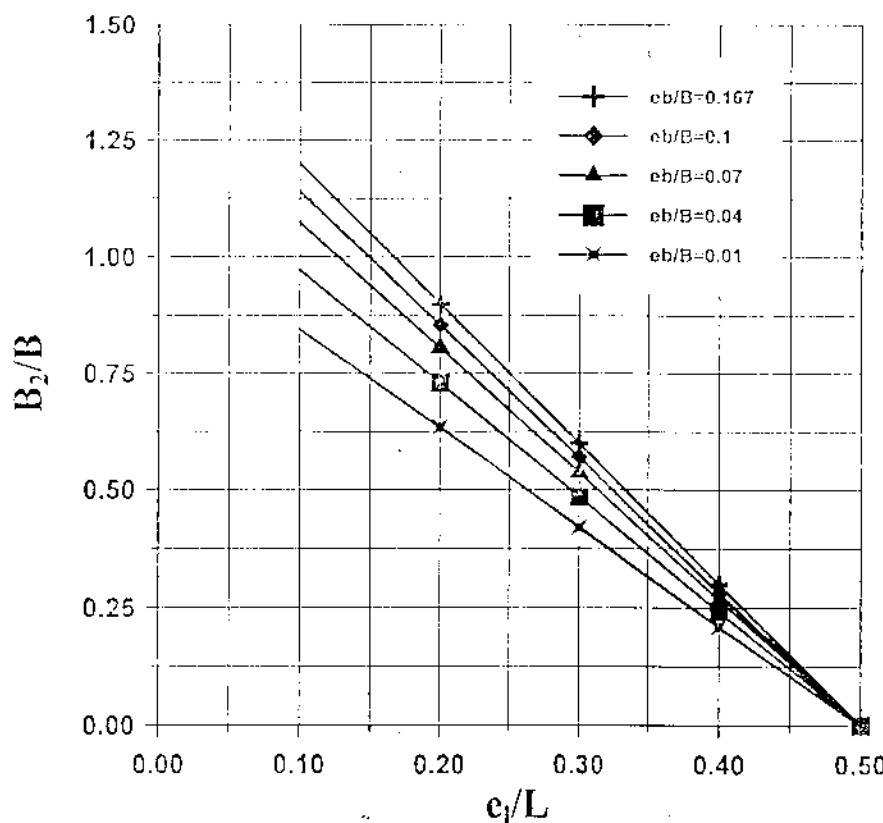
$$\frac{e_h}{B} = \frac{1}{2} - \frac{\frac{e_L}{L} (B_1^2 + B_2 B_1 + B_2^2)}{B(B_1 - B_2)} \quad (25)$$

المعادلة (٢٥) تم تحويلها إلى الشكلين (١٢) و (١٣) و ذلك لسهولة إيجاد  $(B_1)$  &  $(B_2)$  و من معلومة هذه القيمتين نجد المساحة الفعلية  $(A')$  و هنا نفترض  $(L' = L)$  و أما  $(B')$  نجدها من المعادلة (٢). حدود هذه المعادلة عكس حدود معكث الحالات السابقة

$$\frac{e_L}{L} < \frac{1}{6} \quad \& \quad 0 < \frac{e_h}{B} < 0.5$$



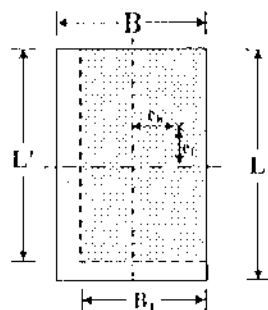
الشكل (١٢): إيجاد البعد ( $B_2/B$ ) ومنها تجد ( $B_2$ ) للحالة الرابعة



الشكل (١٣): إيجاد البعد ( $B_1/B$ ) ومنها تجد ( $B_1$ ) للحالة الرابعة

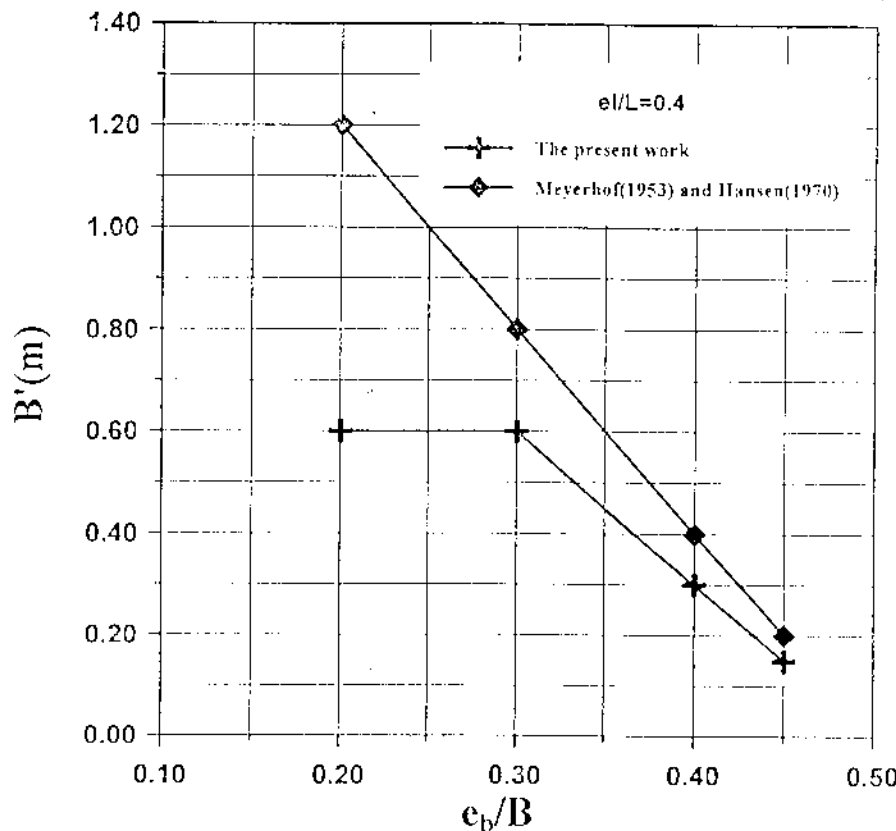
(٣) مقارنة الأبعاد الفعالة المستخرجة من البحث الحالي مع طريقة مايرهوف وهانسن (Meyerhof(1953)& Hansen(1970)

أثّر (Meyerhof 1953) & Hansen (1970) في تصرّف المعاذلتين (٢٦) و (٢٧) لزيادة الأبعاد الفعالة للأسس، مستعيناً بـ مدلل لا مرکزياً وبصورة مبسطة ولكن تلك الأبعاد تختلف قليلاً عن الأبعاد المستخرجة من البحث بسبب كون إن الطريقة الأولى هي طريقة تقريرية ولا تعطي شكل المساحة الفعالة الحقيقة كما مشاهد بالشكل (١٤). قيم مساحة التمايّز الفعالة للطريقتين تكون متقاربة جداً كما مشاهد بالأشكال من (١٥) إلى (١٨) من هذه الأشكال نلاحظ إن قيم اتساعات الفعالة في طريقة العمل الحالي أكبر من القيم في طريقة (Meyerhof 1953) & Hansen (1970)، أما بالنسبة لقيم تعرض الفعال المستخرج من العمل الحالي تكون أقل من القيم المستخرجة من طريقة Meyerhof (1953) & Hansen (1970) في الحالات الأولى والثالثة والرابعة عدا الحالة الثانية فتكون العكس كما مشاهد بالأشكال من (١٥) إلى (١٨).

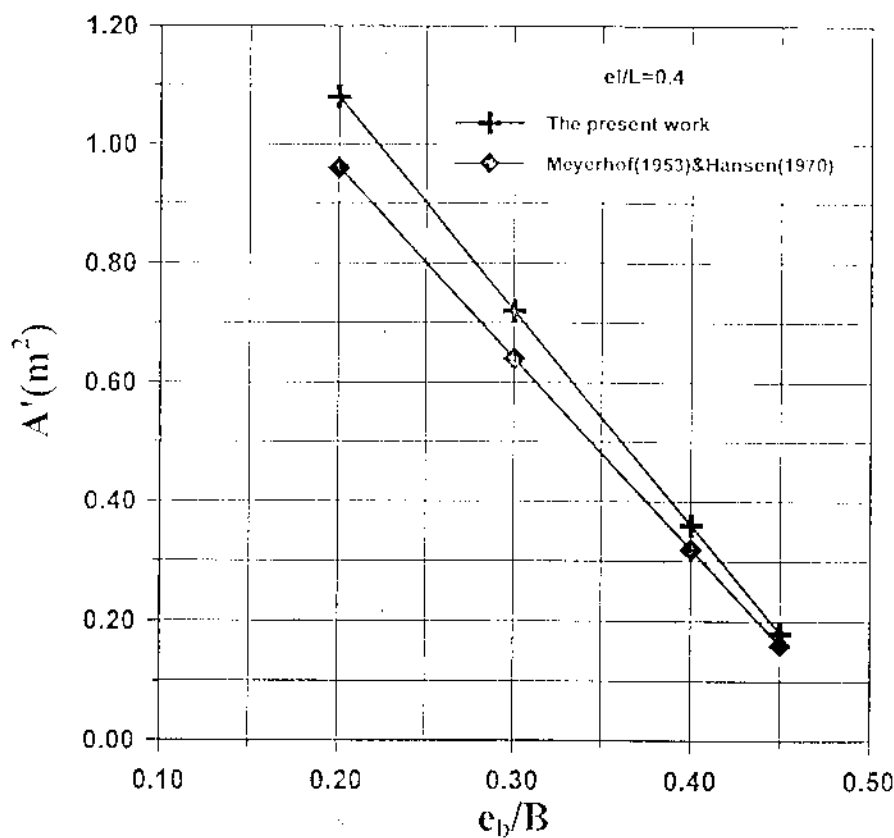


انسكل (14): المساحة الفعلية التقريرية المستخرجة بواسطة Meyerhof(1953)& Hansen(1970)

$$L^+ - L^- = 2e_1 - \dots - e_n - e_{n+1} + \dots + e_{2n-1} \quad (26)$$

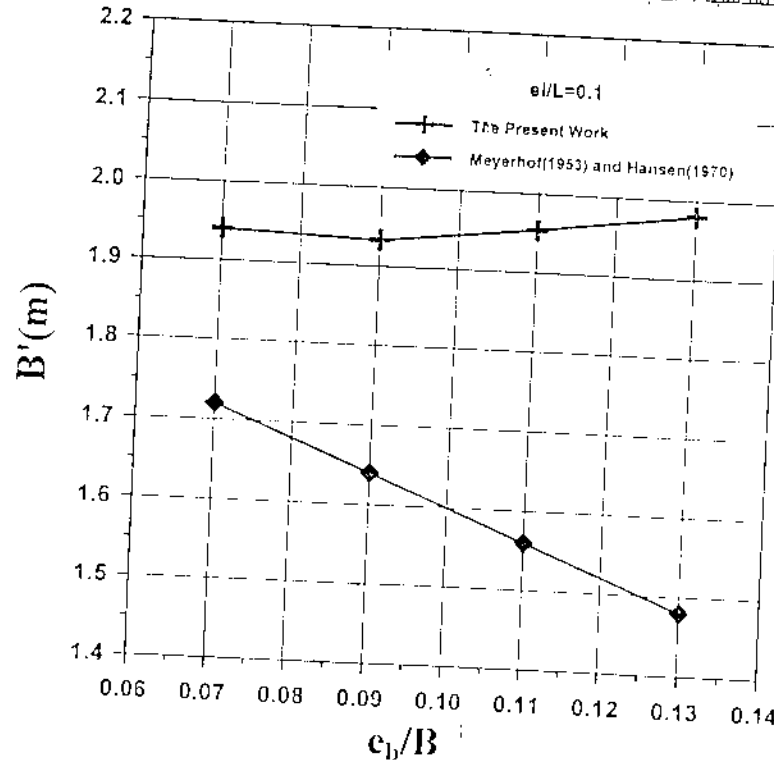


الشكل(15A): مقارنة العرض الفعال بطريقة البحث مع طريقة Meyerhof(1953)&Hansen(1970)

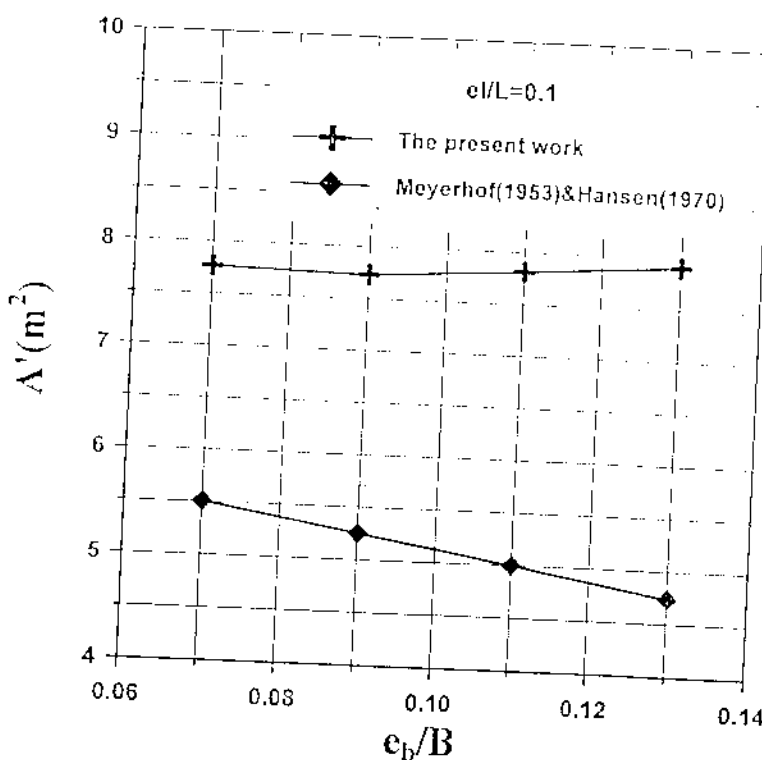


الشكل(15B): مقارنة المساحة الفعالة بطريقة البحث مع طريقة Meyerhof(1953)&Hansen(1970)

الشكل(15): مقارنة العرض و المساحة الفعالة للحالة الأولى  
 $\frac{e_b}{B} \geq \frac{1}{6}$  &  $\frac{e_L}{L} \geq \frac{1}{6}$

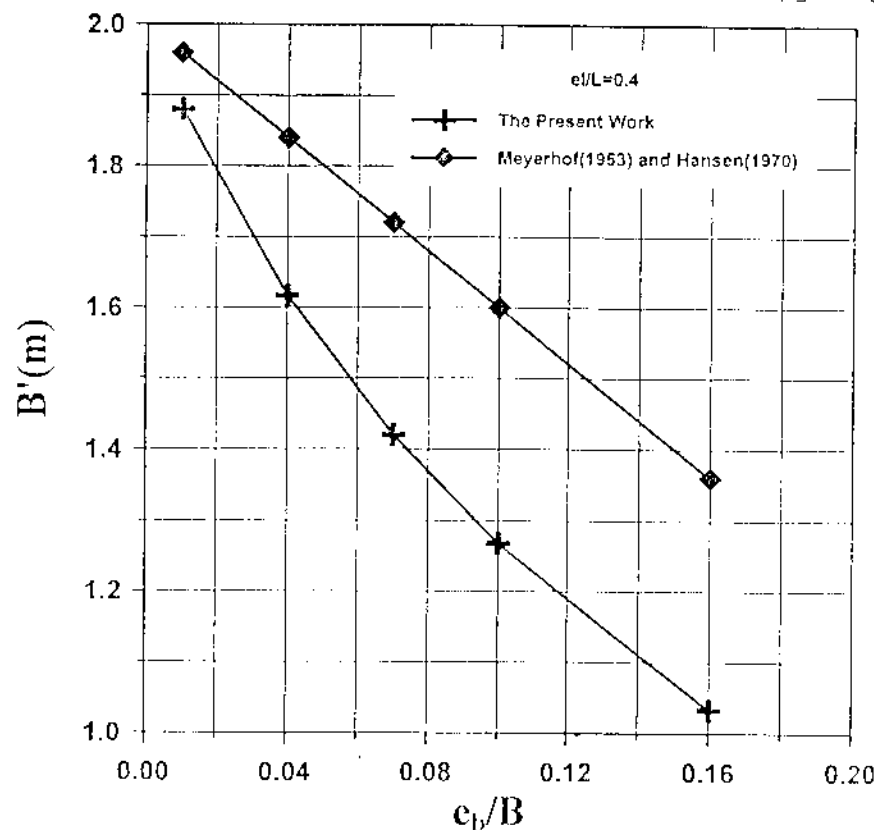


الشكل (16A): مقارنة العرض الفعال بطريقة البحث مع طريقة Meyerhof(1953)&Hansen(1970)

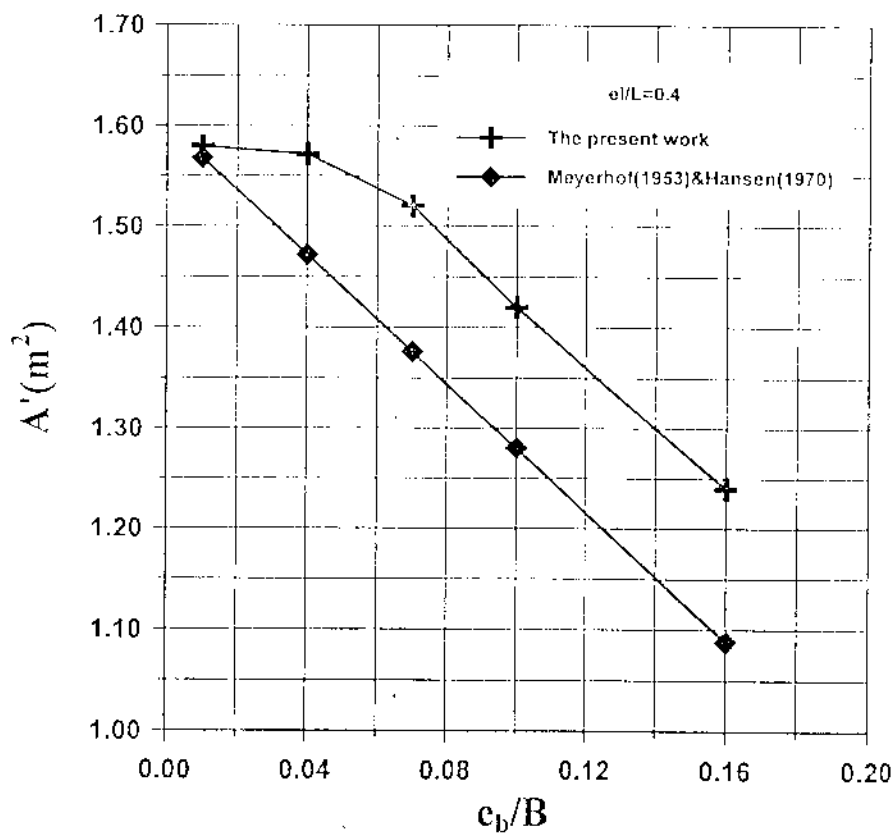


الشكل (16B): مقارنة المساحة الفعالة بطريقة البحث مع طريقة Meyerhof(1953)&Hansen(1970)

الشكل (16): مقارنة العرض و المساحة الفعالة للحالة الثانية  $\left(\frac{e_b}{B} \leq \frac{1}{6} \text{ و } \frac{e_l}{L} \leq \frac{1}{6}\right)$

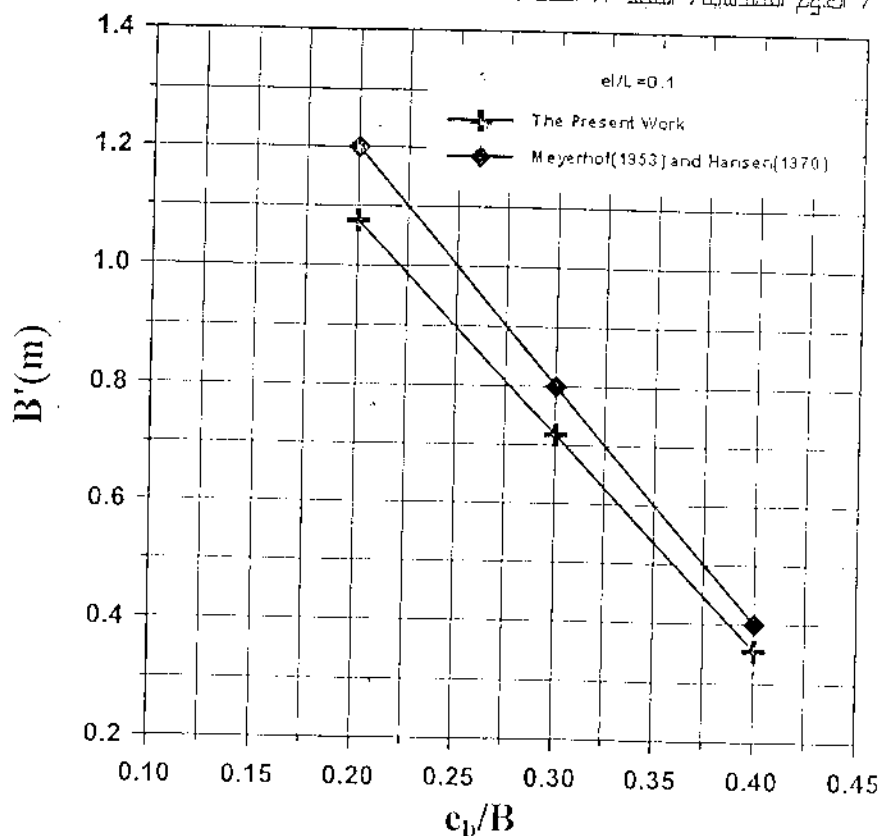


الشكل (17A): مقارنة العرض الفعال بطريقة البحث مع طريقة Meyerhof(1953)&Hansen(1970)

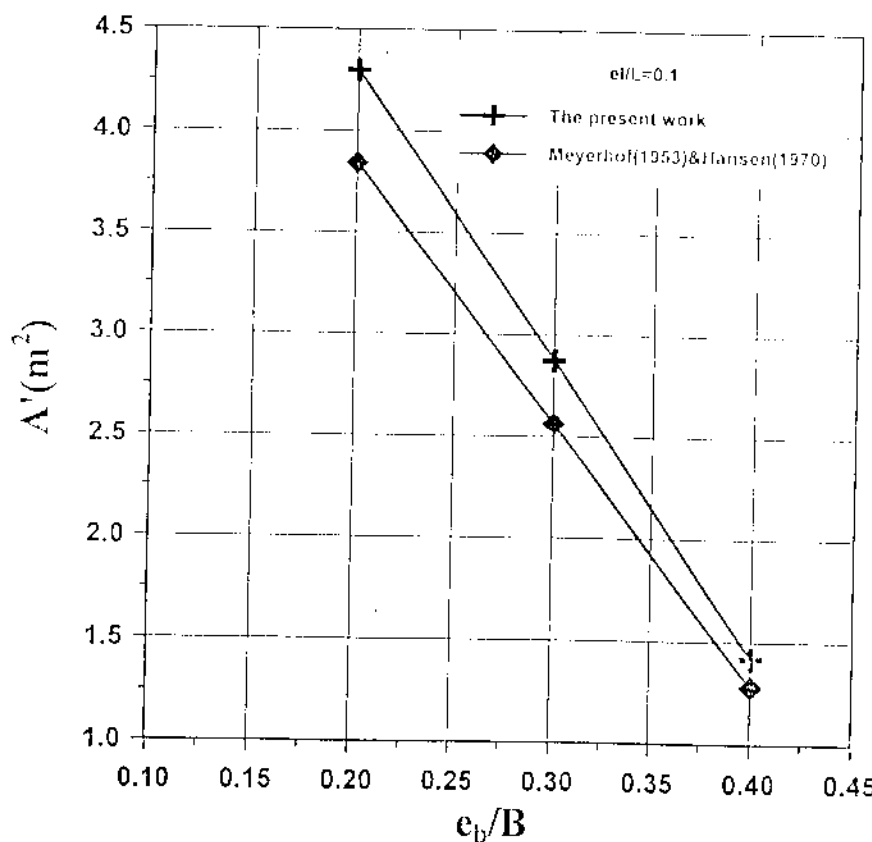


الشكل (17B): مقارنة المساحة الفعالة بطريقة البحث مع طريقة Meyerhof(1953)&Hansen(1970)

الشكل (17): مقارنة العرض و المساحة الفعالة لحالة الثالثة  $\frac{e_b}{B} \leq \frac{1}{6}$  &  $0 \leq \frac{e_l}{L} \leq 0.5$



الشكل(18A): مقارنة العرض الفعال بطريقة البحث مع طريقة Meyerhof(1953)& Hansen(1970)



الشكل(18B): مقارنة المساحة الفعالة بطريقة البحث مع طريقة Meyerhof(1953)& Hansen(1970)

الشكل(18): مقارنة العرض و المساحة الفعالة للحالة الأولى  $\frac{e_i}{L} < \frac{1}{6}$  &  $0 < \frac{e_b}{B} < 0.5$

#### (٤)-الأستنتاجات

- (١)-العمل الحالي يوفر أشكال تصميمية (Design Charts) لإيجاد شكل و قيم مساحة التفاس (A') الفعالة للأكتاف مستطيل محبل لا مركزياً(Effective footing contact area).
- (٢)-قيم مساحة التفاس الفعالة للطريقتين تكون متقاربة جداً كما مشاهد بالأشكال من (١٥) إلى (١٨) ،من هذه الأشكال نلاحظ أن قيم المساحات الفعالة في طريقة العمل الحالي أكبر من النقييم في طريقة Meyerhof(1953)& Hansen(1970) مما يدل على إن ( $Q_{allowable}$ ) من المعادلة (٥) المستخرجة من العمل الحالي تكون أكبر من القيمة المستخرجة من قبل Meyerhof(1953)& Hansen(1970) . بينما ،أما بالنسبة لقيم العرض الفعال المستخرج من العمل الحالي تكون أقل من القيم المستخرجة من طريقة Meyerhof(1953)& Hansen(1970) و في الحالات الأولى و الثالثة و الرابعة عدا الحالة الثانية فيكون العكس، نستنتج من ذلك أن الحالات الثلاث السابقة الذكر توفر قيم لقابلية التحمل القصوى للترابة ( $q_{ultimate}$ ) أقل من . Meyerhof(1953)& Hansen(1970) (المستخرجة من  $q_{ultimate}$ )

#### (٥)-المصادر

- (1)- Abdrabbo, F.,(1982),"Soil Mechanics and Foundation Engineering", Vol.2,Alexandria University ,Egypt.
- (2)-Bowles,J.E.,(1996),"Foundation Analysis and Design),International Student Edition.
- (3)-Jarquio, R., and Jarquio, V.,(1983),"Design Footing Area with Biaxial Bending ",Journal of Geotechnical Engineering ,ASCE,Vol.109,No.10,pp.1337-1341.
- (4)-McCarthy,D.F.,(1998),"Essentials of Soil Mechanics and Foundation", U.S.A.
- (5)-Peck,R.B., Hanson,W.E. and Thornburn,T.H.,(1973),"Foundation Engineering ",University of Illinois at Urbana –Champaign,U.S.A,pp.390-391.

#### Abstract

The present work is focused towards investigating the effect of eccentric loading on the bearing capacity of soil by reducing the footing dimensions (B&L) to effective footing dimensions (B'&L').from these effective footing dimensions, the effective footing contact area(A') can be determined.

If the eccentricity is one way , then the effective footing dimensions are (B' = B-2e<sub>b</sub> & L' = L) or (L' = L-2e<sub>f</sub> & B'=B). When the eccentricity is in two way ,the problem is more complicated because the designer does not know the shape of the effective area ,the effective footing dimensions are determined so that the resultant load is located at the centroid of the effective area.

The present work provided normalized design charts for determining effective rectangular footing dimensions (B' &L').The design charts will enable the engineer to design rectangular footing subjected to eccentric loads much more easily and faster.

## الخراطط الحيوتوكينيكية لبعض خواص الطخور في منطقة سد العظيم

خالد وليد هادي

كلية العلوم -جامعة القاسمية

### الخلاصة

تم في هذا البحث رسم خرائط حيوتوكينيكية (كتورية) تتمثل نمط توزيع بعض خواص الصخور الفيزيائية والهندسية في منطقة سد العظيم وباستخدام الحاسبة الإلكترونية من خلال الاستعانة ببعض نتائج الخصوصات الخاصة بهذه الخواص المدروسة والتي شملت خواص الكثافة والمسامية وعناصر المقاومة القصبية التماسك (C) وزاوية الاحتكاك الداخلي (O). ورسمت الخرائط على عمقين هما (٦,٥) م و(١٣) م لوضع تصور عام عن توزيع هذه الخواص ضمن الموقع وقد وجد عدم تجانس في توزيع خاصية الكثافة ضمن الموقع بينما وجد تجانس في توزيع خاصية المسامية . وبالنسبة لعناصر المقاومة القصبية وجد تجانس في توزيع قيم التماسك (C) بينما كان هناك تباين واضح في قيم وتوزيع زاوية الاحتكاك الداخلي وعلى أعمق مختلفة ضمن الموقع .

### ١- مقدمة

أن تقييم الخواص الحيوتوكينيكية للصخور والتربة لمشروع معين يعد من العوامل المهمة التي تحدد نجاح المشروع وعمره وبعد سد العظيم واحد من المشاريع المهمة في العراق والذي أجريت في موقعه العديد من الدراسات الجيولوجية والهندسية لصخور أساس السد وخزانه ، وقد كان الغرض من هذا البحث توضيح بعض آلة انسن الجيوتكنولوجية للصخور في الموقع ورسمها بشكل خرائط حيوتوكينيكية تتمثل توزيع قيم الخواص المترتبة في الموقع وعلى أعمق مختلفة بغية وضع تصور عام لتوزيع هذه الخواص في المدى .

### ٢- جيولوجية موقع السد

يقع سد العظيم على الجناح الشمالي الشرقي لطية حمررين الشمالي وضمن تكوين المقدادية والمتألف من تلقيب طبقات من الحجر الطيني والغربي والحجر الرملي الحصوي التي تمثل باتجاه أعلى النهر بمعدل زاوية ميل (٥٢-٥٧)، الشكل (١) والذي يوضح خريطة جيولوجية لموقع السد تحتوي على ثلاث مقاطع مرئية في الشكل (٢) والتي تبين تعاقب طبقات تكوين المقدادية التي يكون امتداد خط مضربها هو باتجاه شمال غرب جنوب شرق .

أ. بـ: تكوين خصائص الوحدات الصخرية ضمن الموقع فهي :

#### أ. الصخور الطينية :

تتكون الصخور الطينية من معادن طينية متداخلة مع مواد كاربوناتية ( $\text{CaCO}_3$ ) واطلق تسميات مختلفة على هذه الصخور بالاعتماد على نسبة المواد الكاربوناتية مثل المارل والمارل الطيني ، الطين والصخور الطينية ، كما جاء في (Binnie & Partner, 1988, Phases 1-4 ; Binnie & Partner, 1989)

**بـ- الصخور الرملية :**

يتدرج هذا النوع بين الصخور الرملية الخشنة ( $0.06 - 0.006$  ملم) والصخور الرملية الناعمة ( $0.06 - 0.006$  ملم) وتتركيب المعدنى لها سليكية عادة . وهذا النوع من الصخور يشكل ما نسبته حوالي ( $40\%$ ) من حجم الوحدات الصخرية في أكثر المقاطع الجيولوجية ويتراوح سمكها بين ( $0.5 - 20$ ) م.

**جـ- العدميات :**

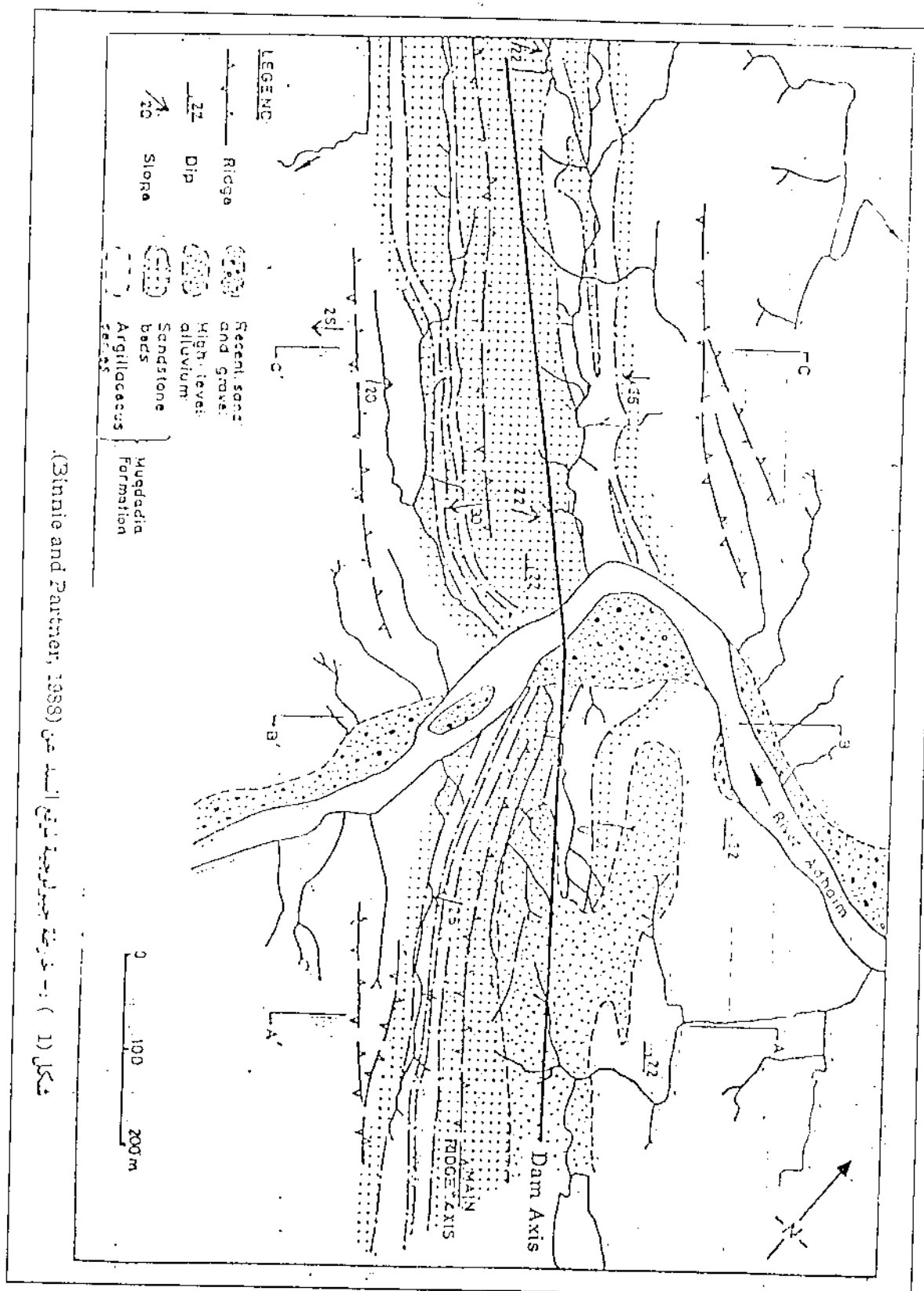
تكون نسبتها قليلة في الموقع وتظهر في بعض نماذج الإبار المحفورة .

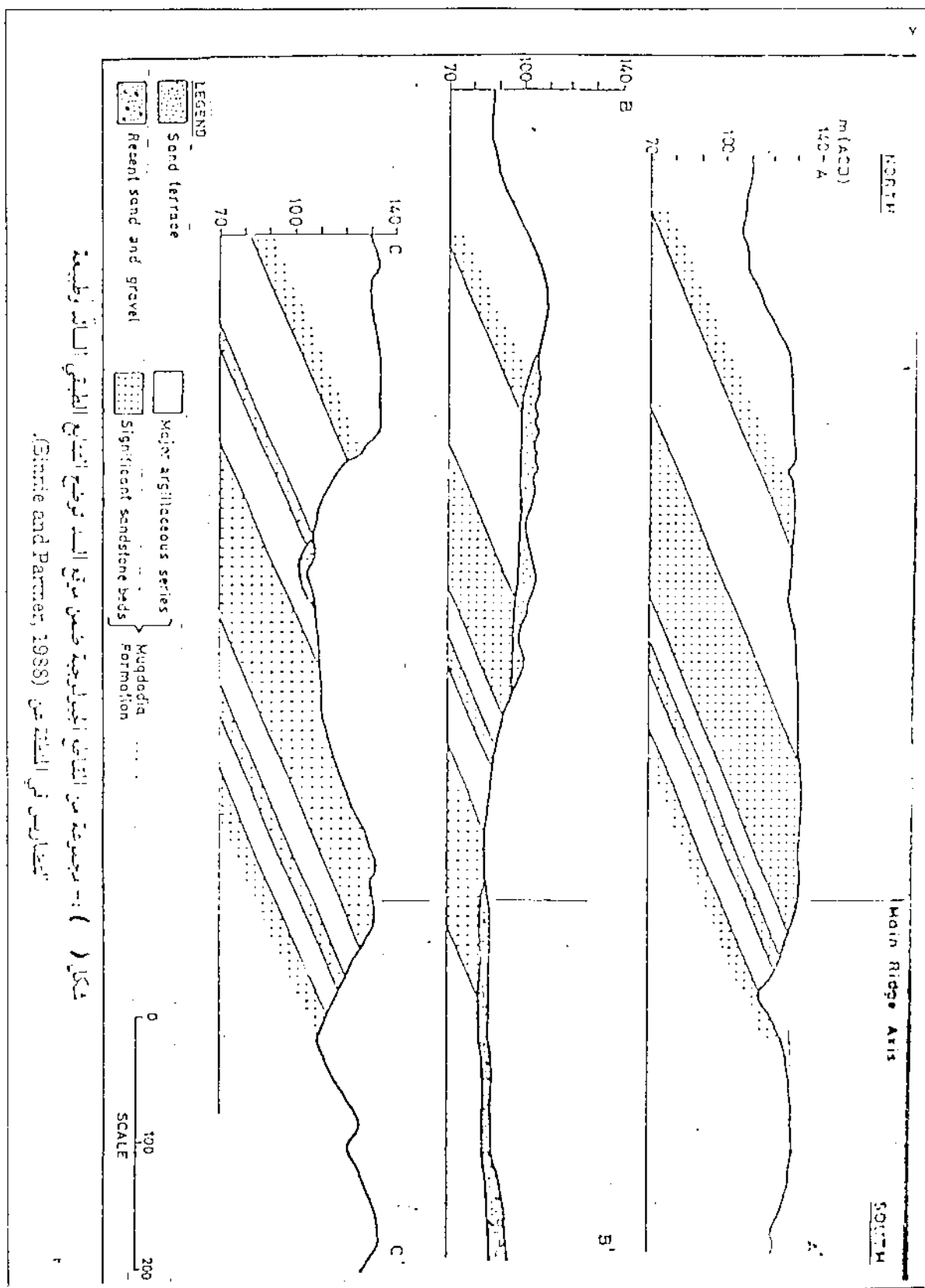
**دـ- التربات النهرية القديمة :**

وهي تربات قديمة من الحصى والغرين والرمل مع عدسات من الغرين الدلييني . ويكون سمكها متغير من منطقة لأخرى .

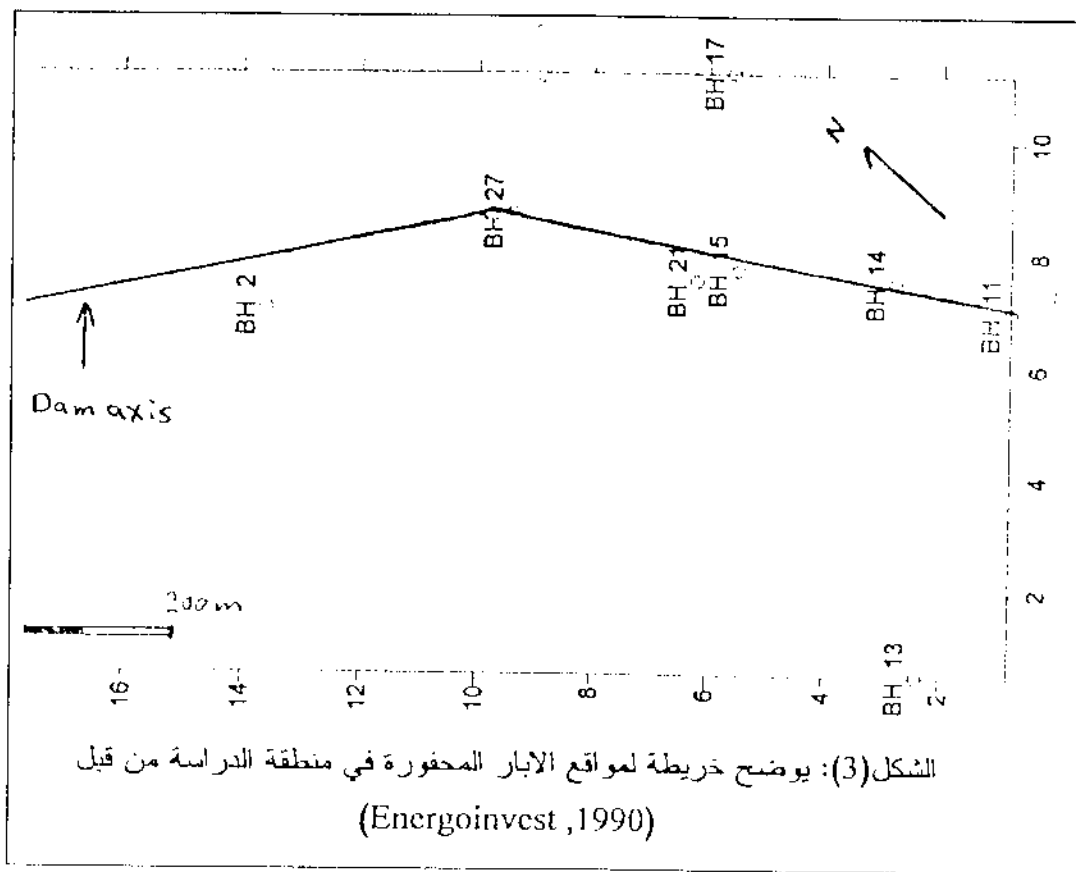
**٣- توزيع الخصائص الفيزيائية والهندسية المدروسة لصخور موقع السد**

تم في هذا البحث الاعتماد على نتائج الفحوصات المختبرية للخواص الفيزيائية والهندسية التي أجريت على النماذج الصخرية المستخرجة من الإبار المحفورة على طول محور السد من قبل (Energoinvest 1990), ومواقع هذه الإبار موضحة في الشكل (٢) وقد تم اختبار عمقين من هذه الإبار هي ( $6.5 - 12$ ) م وتم رسم توزيع قيم كل خاصية من الخواص المدروسة عند كل عمق باستخدام برنامج (Surfer 7) وقد شملت الدراسة بعض من هذه الخواص هي :





شكل (١) :- رسم بياني لشطاف في الجهة الغربية ضمن سلسلة ترسيع الصخري الـ ٤ وطبقته  
السائلس في الشطاف (Gamble and Farmer, 1988).



الشكل(3): يوضح خريطة لمواقع الآبار المحفورة في منطقة الدراسة من قبل (Energoinvest, 1990)

#### - الكثافة (Density)

تَمَكَّنَ من الخواص الفيزيائية المميزة للصخور والتي تعبَرُ عن طبيعة التركيب المعذني للنماذج المدرسية، ويمكن تعريفها بأنها عبارة عن وزن وحدة حجم المادة الصخرية (علي وأخرون، ١٩٩٠) والتي تم حسابها من خلال العلاقة (١).

$$\gamma = W_s + W_w / V_t \dots \dots (1)$$

حيث أن:

$\gamma$ : الكثافة  $\text{غم}/\text{سم}^3$

$W_s$ : وزن الحبيبات الصلبة

$W_w$ : وزن الماء داخل الفجوات والفراغات الصخرية

$V_t$ : الحجم الكلي للنموذج الصخري

ومن دراسة الشكلين (٤) و (٥) والتي توضح خرائط توزيع قيم الكثافة للصخور على عمق (٦،٥) م و (١٢) م على التوالي يمكن ملاحظة ان قيم الكثافة على عمق (٦،٥) م تراوحت بين (٢،٠٢-٢،٣٨)  $\text{غم}/\text{سم}^3$  وتكون ذات كثافة عالية بالقرب من الجزء الوسطي من المعدل أقل في الجزء الغربي منه باتجاه البئر رقم (٦) على عمق (١٢) م فقد تراوحت قيم الكثافة بين (٢،٠٤-١،٩٢)  $\text{غم}/\text{سم}^3$  ويلاحظ تناقص في قيم الكثافة في الجزء الشرقي من الموقع قريباً من محور السد ويكون معدل انحدار القيم كبير باتجاه الشمال بينما يكون صغيراً باتجاهي الجنوب والشرق .

## ٢- المسامية (Porosity)

هي خاصية فيزيائية تشير عن النسبة المئوية لحجم الفراغات الى الحجم الكلي لنمذج الصخرة (Derringh, 1998) .

$$\text{Porosity} = \frac{Vv}{Vt} * 100 \quad (2)$$

حيث ان :

Vv: المسامية

Vt: حجم الفراغات

Vt: حجم النمذج الكلي

وتعتمد المسامية بصورة مباشرة على حجم وشكل الحبيبات او بلورات المعادن المكونة للصخرة وعلى درجة تدرجها (Grading) وعلى ترتيب هذه الحبيبات وطبيعة تركيبها وكذلك على طبيعة المادة الرابطة (على واخرون، ١٩٩٠)، ومن دراسة الشكلين (٦) و(٧) نلاحظ ان قيم المسامية للنمذج المدروسة وعلى عمق (٦,٥)م تراوحت بين (٤٢-٦٢ %) وتنركز قيم المسامية العالية قريباً من محور السد في الجزء الغربي من المنطقة ويكون الانحدار في القيم عالياً في هذا الجزء من المنطقة بينما يكون معتدلاً في الجزء الشرقي منها .

وعلى عمق (١٣)م نلاحظ ان القيم تراوحت بين (٣٨-٦٤ %) وكان توزيع القيم مشابهاً لما هو موجود في العمق (٦,٥)م بحيث يكون أعلى تركيز لقيم المسامية في الجزء الغربي القريب من وسط الخريطة ويكون انحدار القيم معتدلاً لجميع أجزاء الخريطة .

## ٣- عناصر المقاومة القصبية للصخور

ان المقاومة القصبية هي تعبير عن المقاومة التي يبديها الجسم الصخري عند تعرضه الى قوى خارجية تكون مركبة القوى فيها موازية للسطح المراد حساب مقاومته للقص او الانزلاق . وتشمل هذه المستويات عادة مستويات الصنوج الكبيرة والصغيرة ومستويات الفواصل ومستويات التطبق والتي تعتبر مناطق ضعف في الصخور (قوحى وأخرون، ١٩٩٠) .

وتشمل دراسة خصائص المقاومة القصبية للصخور التعرف على قيم عناصرها وهي التماسك (c) وزاوية الاحتكاك الداخلي (φ) للنمذج الصخري المختلفة وتم استخراج قيمها استناداً الى فحوصات القص المباشر (Direct shear tests) والتي اجريت من قبل (Energoinvest, 1990) .

ومن دراسة الشكلين (٨) و(٩) نلاحظ ان قيم التماسك (c) تراوحت بين (٢٥-٣٤) kN/m<sup>2</sup> ويكون تركيز القيم العالية والانحدار العالي في القيم ضمن الجزء الشرقي من المنطقة بينما يكون معدل انحدار القيم في بقية أجزاء المنطقة معتدلاً .

اما بالنسبة لزاوية الاحتكاك الداخلي (φ) فمن مراجعة الشكلين (١٠) و(١١) نلاحظ ان قيمها وعلى عمق (٦,٥)م تراوحت بين (٤٢-٤٨°) وكان تركيز القيم العالية وكذلك الانحدار العالي في القيم ضمن الجزء الشرقي من المنطقة . بينما على عمق ١٣ م فقد تراوحت القيم بين (٥٣٣-٥٢٦°) ويلاحظ في الجزء الشرقي من الموقع وجود مناطقين لتركيز القيم الاول في اقصى الشرق وبعكس تركيز لقيم العالية نحو المركز وقرباً منه وباتجاه الغرب يوجد تركيز لقيم المنخفضة نحو المركز ايضاً ليصل ادنى مستوياته عند الخط الكتوري ذي القيمة (٥٢٦°) وبعدها تبدأ القيم بالتصاعد تدريجياً باتجاه الغرب وبمعدل انحدار متوازي تقريباً .

#### ٤- الاستنتاجات

من خلال دراسة الخرائط الجيوبوئلوكافية المرسمة للخواص المدروسة لصخور موقع سد العظيم يمكن استنتاج مايلي:

١- إن توزيع قيم الكثافات الصخرية ضمن العمقين المختارين يكون مختلف ولكن معدل قيم الكثافات يكون متقارب.

٢- قيمة تركيز قيم المسامية تكون متماثلة في كلا العمقين وتكون ضمن الجزء الشرقي القريب من مركز التربطة ، كما ان توزيع القيم يكون متماثل . ومتشابه تقريباً مما يعكس تجانس وتماثل توزيع المسامية في صخور الموقع والمتصل بتوزيعه على الخرائط المرسمة.

٣- تتم تركيز قيم التماسك تكون متقاربة في مواقعها في كلا الخريطيتين المرسمتين كما ان توزيع وتدرج القيم ضمن الخريطيتين يكون متشارب ايضاً مع اختلاف في مقدار القيم لهذه الخاصية في كلا الخريطيتين .

٤- كانت قيم زاوية الاحتكاك الداخلي متباعدة مابين العمقين إضافة إلى أن طبيعة توزيع وتدرج القيم متباعدة أيضاً مما يعكس تباين في توزيع زاوية الاحتكاك الداخلي ضمن المنطقة المدروسة وللأعمق المختلفة .

#### المصادر

علي، متاد حسين، حجاب، باسم رشدي، الجسار، سنان هاشم، ١٩٩١، الجيولوجيا الهندسية، دار الكتب للطباعة والنشر - جامعة الموصل، ٥٧٦ ص.

ذئري، زهير رمو، الجسار، سنان هاشم، كنانة محمد، مشكور مصطفى، ١٩٩٠، الجيولوجيا الهندسية والأنحرى الموقعي، جامعة الموصل، مديرية دار الكتب للطباعة والنشر، الموصل، ٢٥٢ ص.

Binnie and Partners (Over Seas) Ltd (1988 a) Ali- Jambur and Main Adhaim Dams .  
main Udhaim Dam . Phase 1.

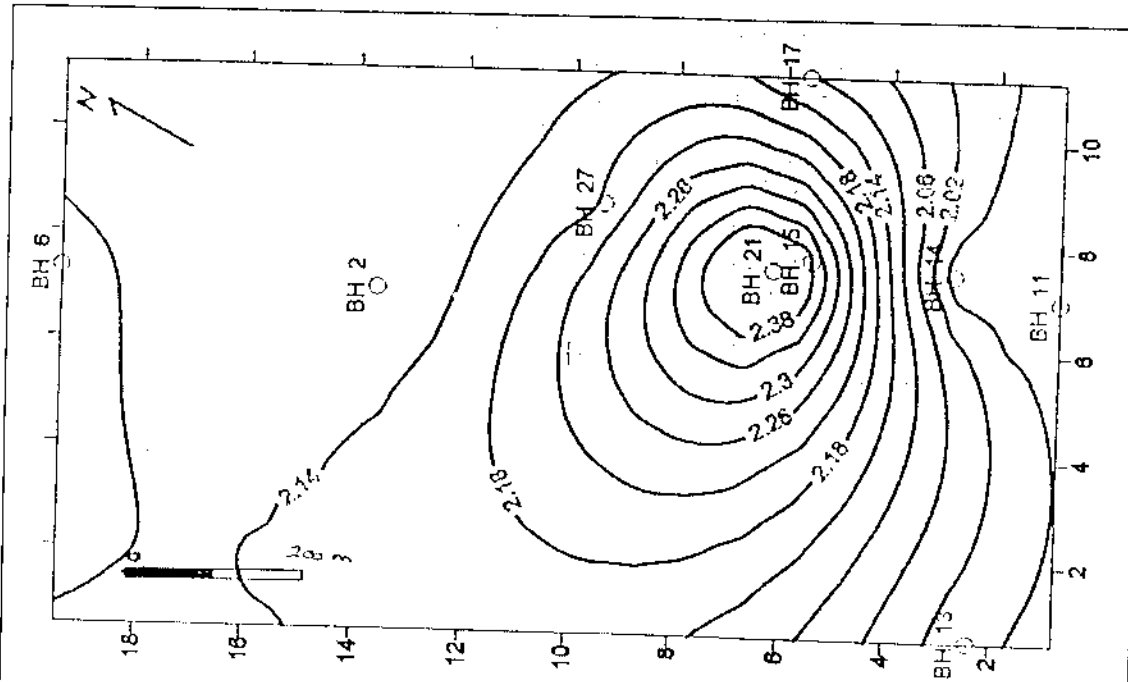
Binnie and Partners (Over Seas) Ltd (1988 b) Ali- Jambur and Main  
Adhaim Dams . main Udhaim Dam . Phase 2.

Binnie and Partners (Over Seas) Ltd (1988 c) Ali- Jambur and Main Adhaim Dams .  
main Udhaim Dam . Phase 3.

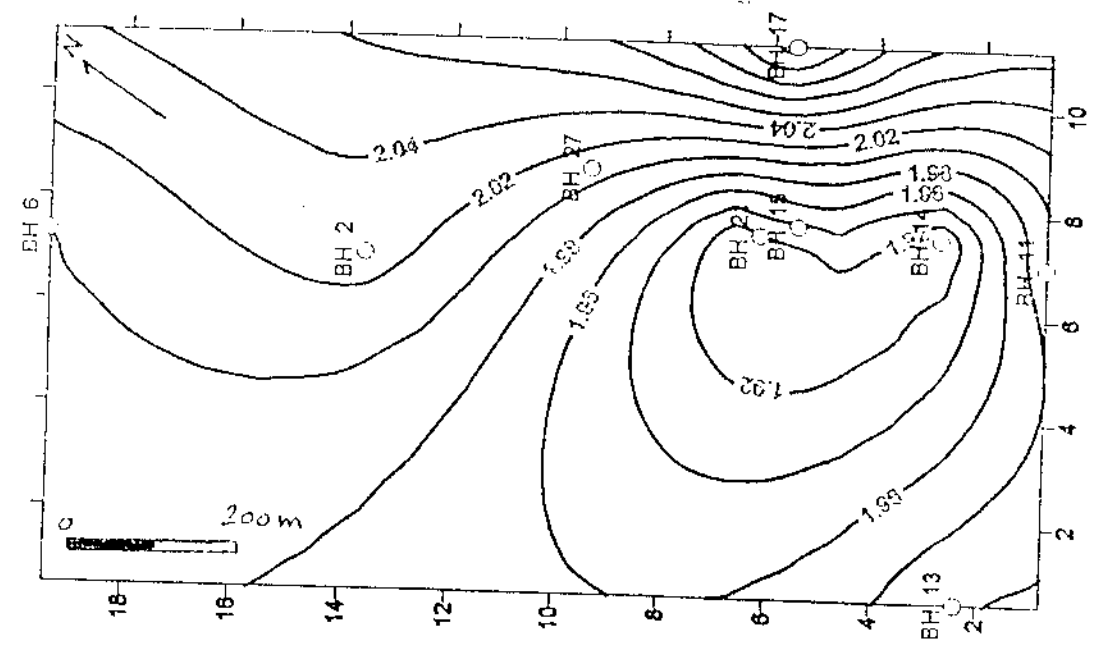
Binnie and Partners (Over Seas) Ltd (1988 d) Ali- Jambur and Main Adhaim Dam .  
main Udhaim Dam . Phase 4.

Binnie and Partners (Over Seas) Ltd (1989) Geological Plane of Udhaim Dam Site.  
Derringh ,E.,1998 , Computational Engineering Geology, Prentice Hall, Upper Saddle  
River, New Jersy,322 p.

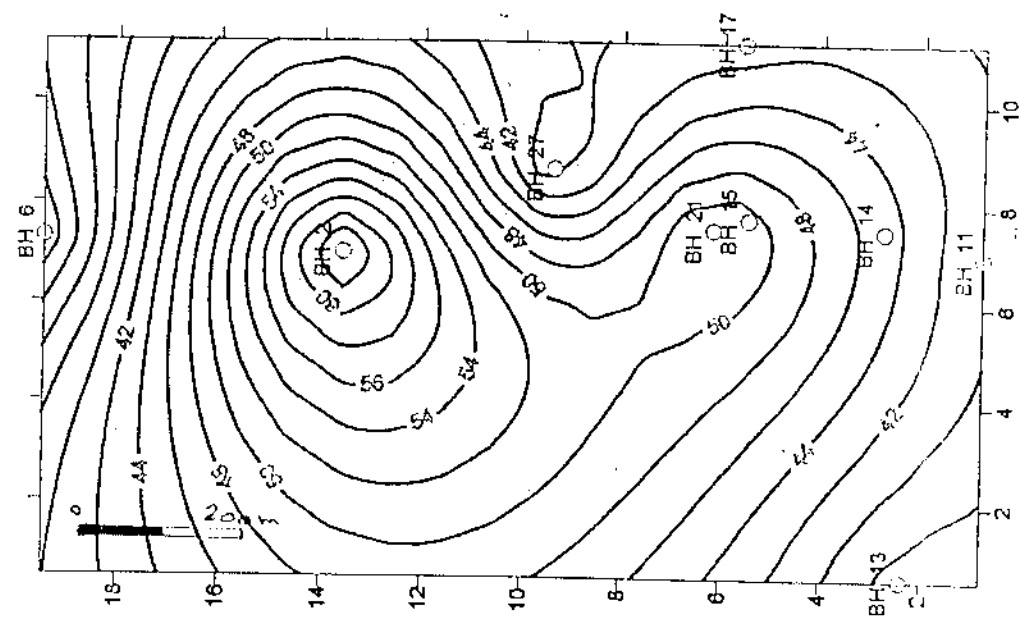
Energoinvest and Engineering Testing and Works, 1990, Laboratory  
Testing for Udhaim Dam. V.1,2,3,4.



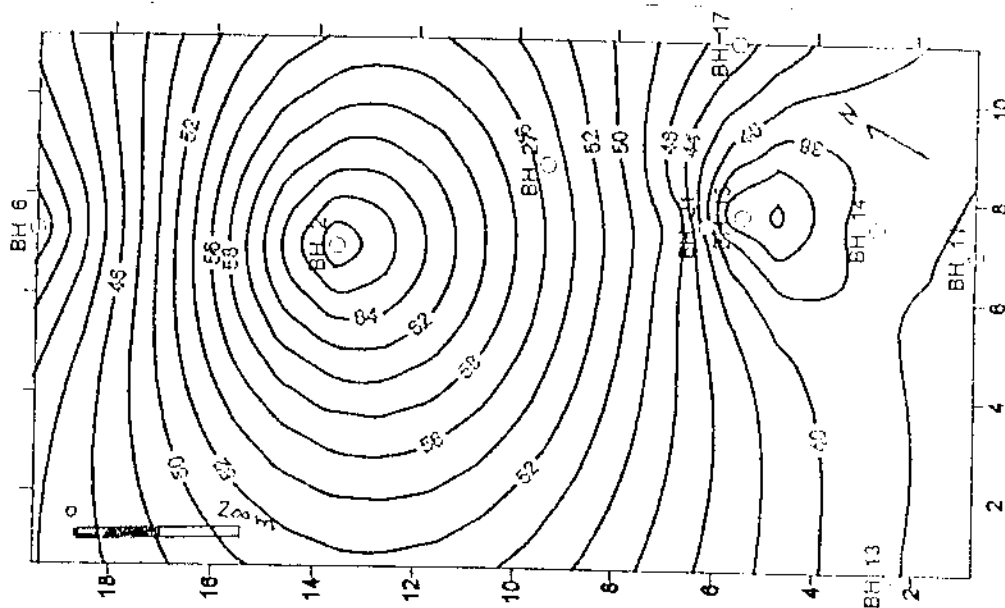
الشكل (٤): يوضح خريطة جيوتكتيكية لكثافة الصخور ضمن منطقة  
الدراسة وعلى عمق (٦.٥) متر



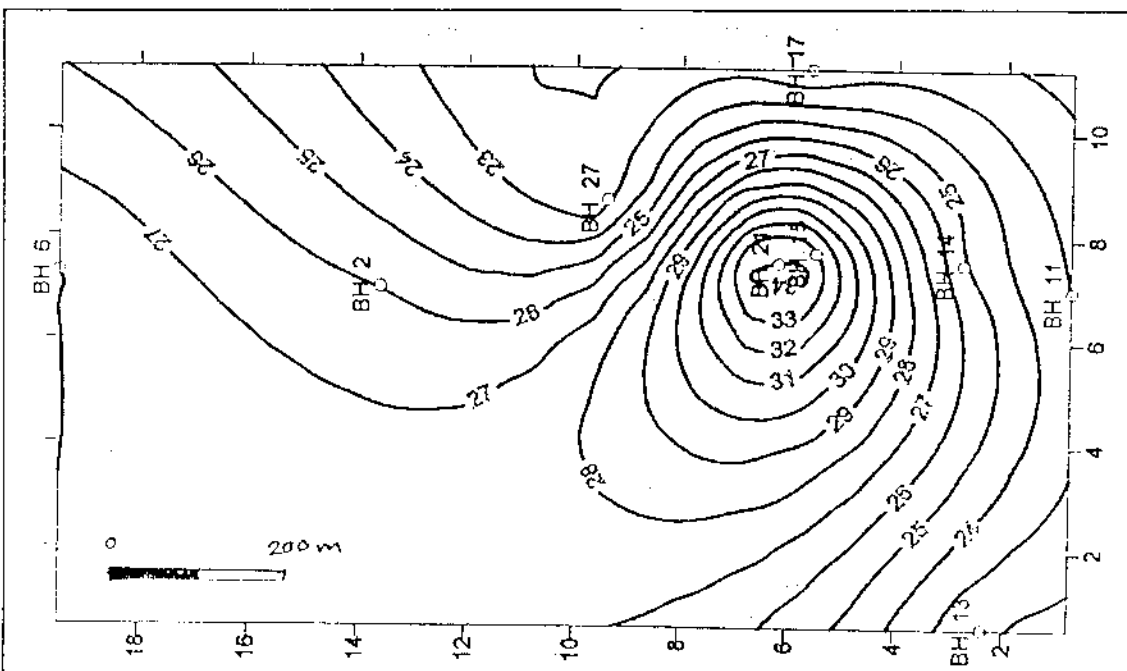
الشكل (٥): يوضح خريطة جيوتكتيكية لكثافة الصخور ضمن منطقة  
الدراسة وعلى عمق (١٣) متر



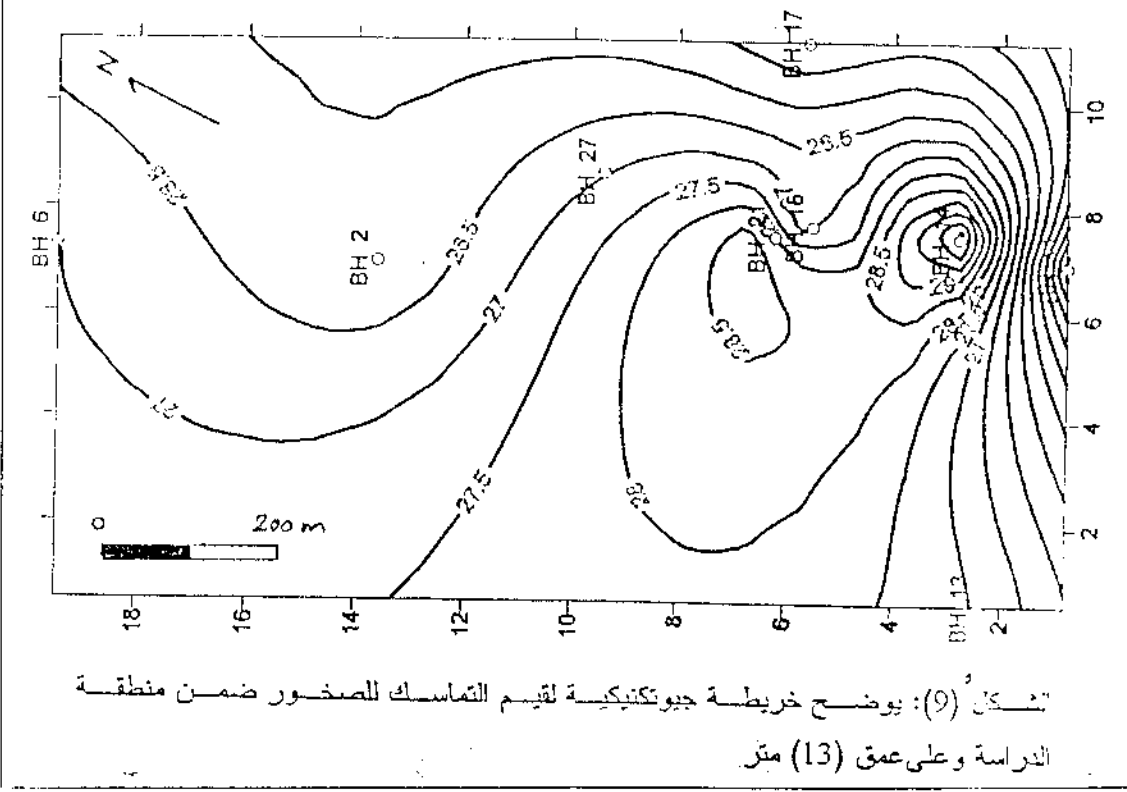
الشكل (6): يوضح خريطة جيوباكينيكية لقيم مسامية الصخور ضمن منطقة الدراسة وعلى عمق (6.5) متر



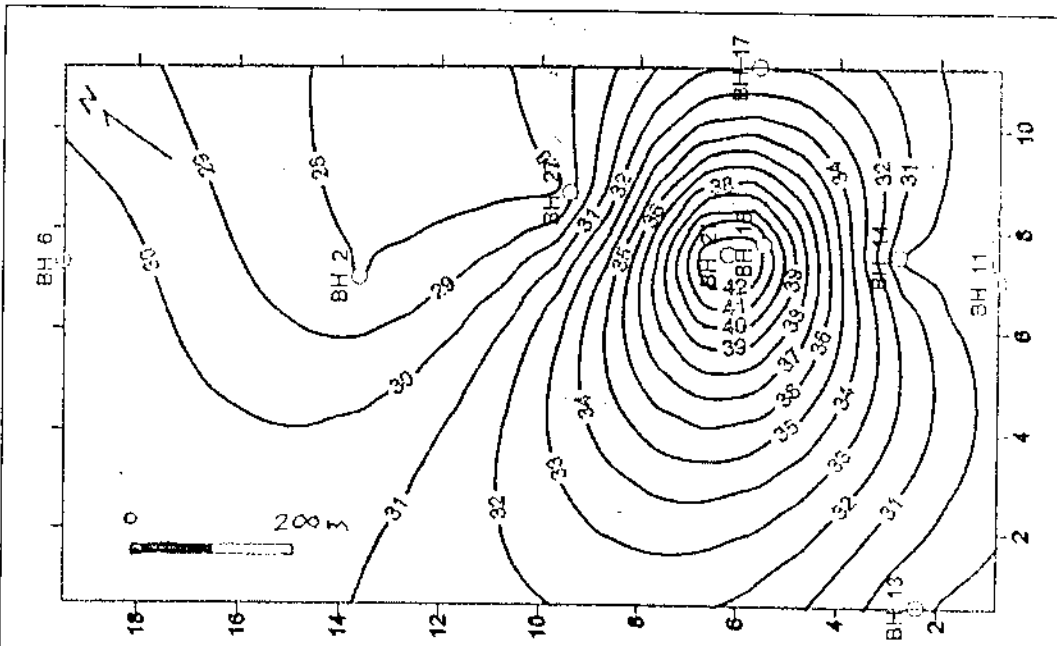
الشكل (7): يوضح خريطة جيوباكيكية لقيم مسامية الصخور ضمن منطقة الدراسة وعلى عمق (13) متر



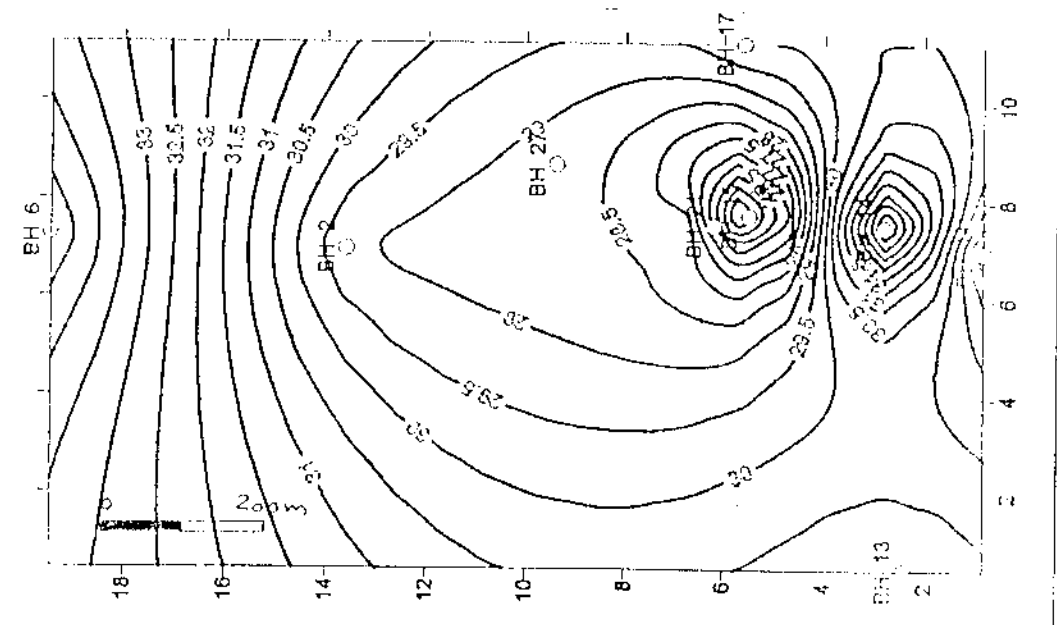
الشكل (8): يوضح خريطة جيوبترى لقيم التماسك للصخور ضمن منطقة  
الدراسة وعلى عمق (6.5) متر



الشكل (9): يوضح خريطة جيوبترى لقيم التماسك للصخور ضمن منطقة  
الدراسة وعلى عمق (13) متر



الشكل (10): يوضح خريطة جيوبوتينيكية لقيم زاوية الاحتكاك الداخلي ( $\theta$ ) ضمن منطقة الدراسة وعلى عمق (6.5) متر



الشكل (11): يوضح خريطة جيوبوتينيكية لقيم زاوية الاحتكاك الداخلي ( $\theta$ ) ضمن منطقة الدراسة وعلى عمق (13) متر